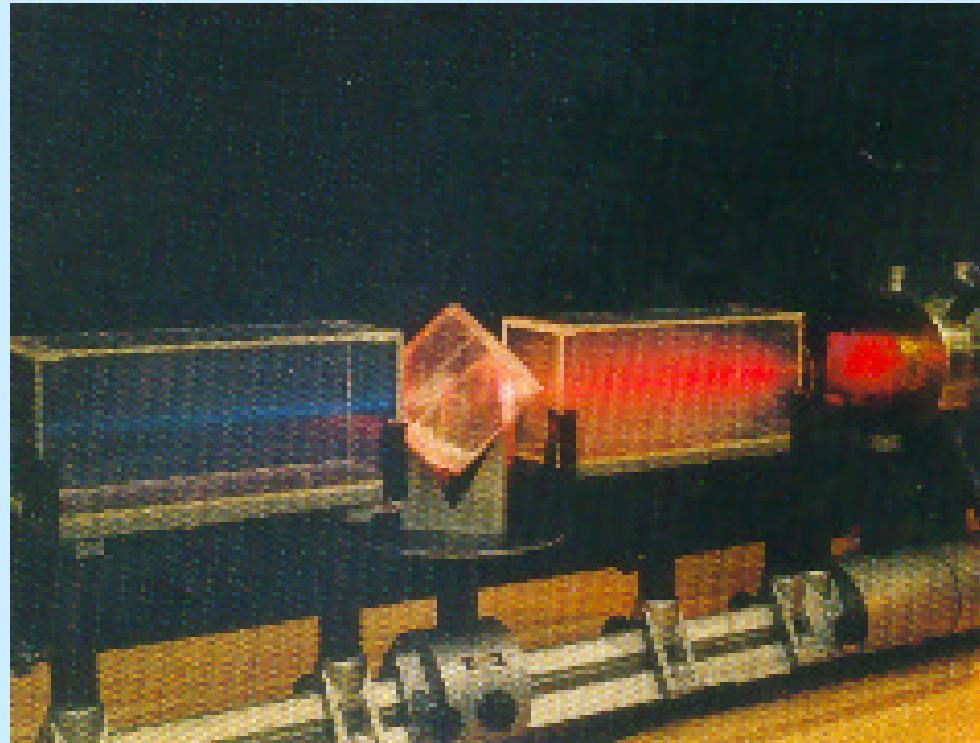




# **Les Oscillateurs Paramétriques Optiques: fondements et Applications**

**E. ROSENCHER  
DSG/ONERA**

Tout a commencé comme ça...



*T.H. Maiman, Nature (1960)*



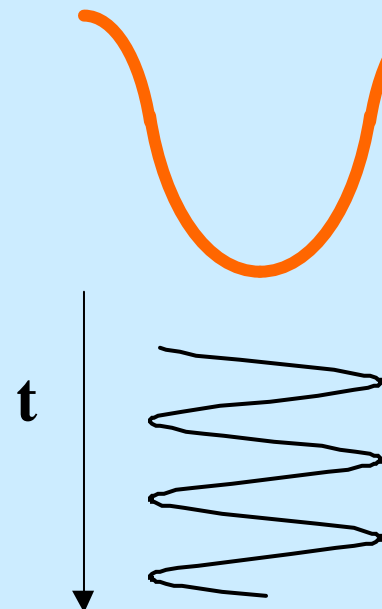
*P.A. Franken, A.E. Hill, C.W. Peters and G. Weireich, Phys. Rev. Lett. (1961)*



- Modèle mécanique de l'optique non linéaire
- Equations de couplage paramétrique: aspect ondulatoire
- Equations de Manley-Rowe: aspect corpusculaire
- Amplification paramétrique
- Oscillation paramétrique optique
- Accord et quasi-accord de phase
- Comportement dynamique des OPO
- Quelques applications et développements actuels

# Optique non linéaire quadratique

SYSTEME SYMETRIQUE

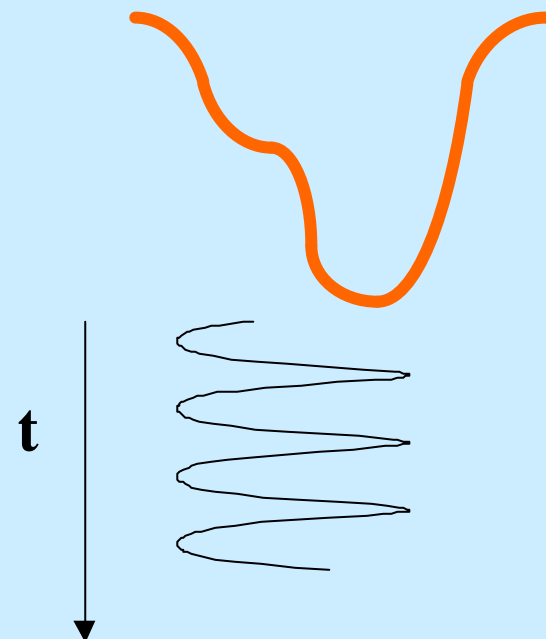


$$P(t) = e_0 c^{(1)} E(t)$$



W

SYSTEME NON SYMETRIQUE



Susceptibilité optique non linéaire

$$+ e_0 c^{(2)} E(t)^2$$



2 W

## 1. Modèle mécanique de l'optique non linéaire quadratique

Potentiel anharmonique

$$U(x) = \frac{1}{2}m\omega_0^2 x^2 + \frac{1}{3}mDx^3$$

Force d'excitation périodique:

$$F(t) = qE \cos(\omega t) = \frac{qE}{2} (e^{i\omega t} + cc)$$

Equation différentielle

$$\ddot{x} + g \dot{x} + \omega_0^2 x + Dx^2 = \frac{qE}{2m} (e^{i\omega t} + cc)$$

Analyse harmonique de  $x(t)$

$$x(t) = x_0 + x_1 e^{i\omega t} + x_2 e^{i2\omega t} + \dots + cc$$

Rectification optique

Réponse linéaire:  
Indice  
absorption

Génération de  
Seconde harmonique



## 1. Modèle mécanique de l'optique non linéaire quadratique

Réponse linéaire:

$$x_I = \frac{qE}{m} \frac{1}{(w_0^2 - w^2) + iwg} \approx \frac{qE}{2wm} \frac{1}{(w_0 - w) + ig/2}$$

Polarisation du milieu:

$$P_I(t) = N q x_I(t) = \frac{N q x_I}{2} \left( e^{iwt} + cc \right)$$

Par définition

Modèle de Lorentz:

$$c_I^{(w)} = \frac{Nq^2}{2wm\epsilon_0} \frac{1}{(w_0 - w) + ig/2}$$

## 1. Modèle mécanique de l'optique non linéaire quadratique

**Identification terme à terme des termes en  $2w$**

$$P_2(t) = N q x_2(t) = \frac{N q}{2} \left( e^{i 2w t} + cc \right)$$

**Polarisation non linéaire  
du milieu:**

$$P_2(t) = \frac{\epsilon_0}{2} \left( c_2^{(2w)} E^2 e^{i 2w t} + cc \right) \quad \text{Par définition}$$

**Réponse non linéaire:**

$$x_2 \approx \frac{q^2 D}{2 m^2} \frac{I}{[(w_0 - w) + i g/2]^2 [(w_0 - 2w) + i 2/3 g]}$$

**Susceptibilité quadratique optique:**

$$c_2^{(2w)} = \frac{N q^3 D}{24 w^3 m^2 \epsilon_0} \frac{I}{[(w_0 - w) + i g/2]^2 [(w_0 - 2w) + i 2/3 g]}$$

**Double résonance à  $w_0$  et  $w_0/2$**



## 1. Modèle mécanique de l'optique non linéaire quadratique

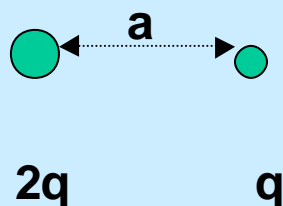
### Règle de Miller:

*Loin des résonances*

$$\frac{c_2^{(2w)}}{e_0^2 (c_I^{(w)})^2 (c_I^{(2w)})} = \frac{m D}{2 N^2 q^3} = d^{(2w)}$$

mat	$n_1$	$n_2$	$C \text{ pm/V}$	$d$
GaSb	3.8	3.82	628	$3.2 \cdot 10^9$
GaAs	3.27	3.30	368	$5.4 \cdot 10^9$
ZnSe	2.42	2.43	78	$8 \cdot 10^9$

### Origine microscopique de la règle de Miller:



$$V(x) = \frac{-q^2}{4\pi e_0} \left( \frac{1}{x} + \frac{2}{a-x} \right) \approx \frac{-q^2}{4\pi e_0} \left( 5.83 + 24 \left( \frac{x}{a} \right)^2 - 17 \left( \frac{x}{a} \right)^3 \right)$$

$$D = -51 \frac{q^2}{4\pi e_0 m a^4}$$

Pour  $a = 0.5 \text{ nm}$  alors  $D = 2 \cdot 10^{41} \text{ SI}$  soit  $d = 6 \cdot 10^{19} \text{ SI}$  pour  $N = 6 \cdot 10^{28} \text{ m}^{-3}$

## 1. Modèle mécanique de l'optique non linéaire quadratique

### Aspect tensoriel

$$\begin{bmatrix} P_x \\ P_y \\ P_z \end{bmatrix} = \mathbf{e}_0 \begin{bmatrix} d_{11} & d_{12} & d_{13} & d_{14} & d_{15} & d_{16} \\ d_{21} & d_{22} & d_{23} & d_{24} & d_{25} & d_{26} \\ d_{31} & d_{32} & d_{33} & d_{34} & d_{35} & d_{36} \end{bmatrix} \begin{bmatrix} E_x^2 \\ E_y^2 \\ E_z^2 \\ E_z E_y \\ E_z E_x \\ E_x E_y \end{bmatrix}$$

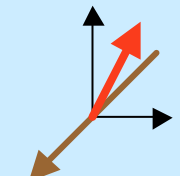
GaAs:

$$\begin{bmatrix} 0 & 0 & 0 & d_{14} & 0 & 0 \\ 0 & 0 & 0 & 0 & d_{14} & 0 \\ 0 & 0 & 0 & 0 & 0 & d_{14} \end{bmatrix}$$

$$P_x = d_{14} E_{zy}$$

*Pas de non linéarité le long des axes cristallographiques*

*Non linéarité le long de (110)*

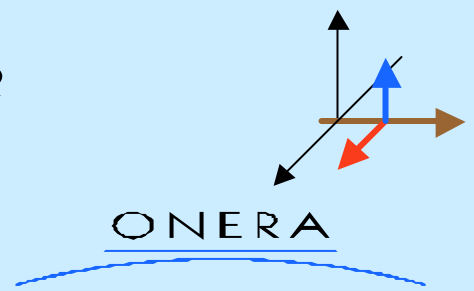


NbLiO<sub>3</sub>:

$$\begin{bmatrix} d_{11} & -d_{11} & d_{13} & 0 & d_{15} & 0 \\ 0 & 0 & 0 & d_{15} & 0 & -d_{11} \\ d_{31} & d_{31} & 0 & 0 & 0 & 0 \end{bmatrix}$$

$$P_z = d_{31} E_x^2$$

*Non linéarité le long de (010)*



## 2. Équation de propagation de l'interaction non linéaire

$$\nabla \cdot E = 0$$

$$\nabla \cdot B = 0$$

$$\nabla \times E = -\frac{\partial}{\partial t} B \quad \text{Maxwell}$$

$$\nabla \times B = \mu_0 \underbrace{\frac{\partial}{\partial t} (\epsilon_0 E + P)}_{D} = \frac{1}{c^2} \underbrace{\frac{\partial}{\partial t} E}_{\text{Courant de déplacement}} + \mu_0 \frac{\partial}{\partial t} P$$

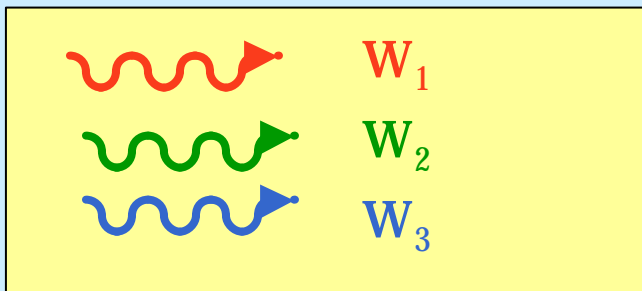
Polarisation linéaire et non linéaire:  $P(t) = P_l(t) + P_{nl}(t) = \epsilon_0 c_1 E(t) + P_{nl}(t)$

Indice optique:  $n_{op}^2 = 1 + c_1$

$$\nabla^2 E - \left( \frac{n_{op}}{c} \right)^2 \frac{\partial^2}{\partial t^2} E = \mu_0 \frac{\partial^2}{\partial t^2} P_{nl}(t)$$



## . Équation de propagation de l'interaction non linéaire



### Mélange à 3 ondes

$$\cos(w_1 t) \cos(w_2 t) \rightarrow \underbrace{\cos[(w_1 + w_2)t]}_{P_2(t)} \text{ et } \underbrace{\cos[(w_1 - w_2)t]}_{\begin{array}{c} \text{Somme} \\ \text{De} \\ \text{Fréquences} \end{array}} \underbrace{\cos[(w_1 - w_2)t]}_{\begin{array}{c} \text{Différence} \\ \text{De} \\ \text{Fréquence} \end{array}}$$

**Terme de somme de fréquences:**

$$P_{nl}(z,t) = \frac{e_0 c_2}{2} \left( \underbrace{E_2(z,t)^*}_{W_1} \underbrace{E_3(z,t)}_{W_2 + W_3} + cc \right)$$

**Transfert d'énergie entre les ondes**

$$E_j(z,t) = \frac{1}{2} \left( \underbrace{E_j(z)}_{\begin{array}{c} \text{Interaction} \\ \text{Évolue lentement} \end{array}} e^{i(w_j t - k_j z)} + cc \right)$$

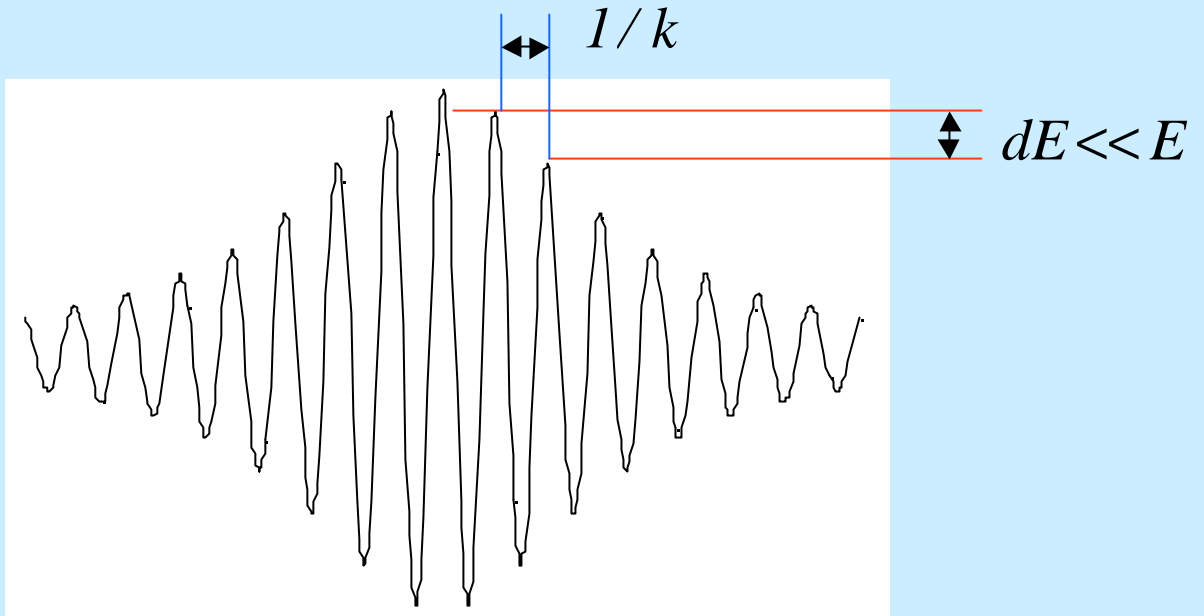
*Ondes planes  
(sans interaction)*



## . Équation de propagation de l'interaction non linéaire

Approximation  
de la Fonctions- enveloppe

$$\left| \frac{d^2 E_j}{dz^2} \right| \ll \left| k_j \frac{d E_j}{dz} \right|$$



$$w_3 - w_2 \rightarrow w_1$$

$$\frac{d}{dz} E_1 = -i \frac{\mathbf{w}_1}{2n_1 c} \mathbf{c}_2 E_3 E_2^* e^{-i \mathbf{Dk} z}$$

$$w_3 - w_1 \rightarrow w_2$$

$$\frac{d}{dz} E_2 = -i \frac{\mathbf{w}_2}{2n_2 c} \mathbf{c}_2 E_3 E_1^* e^{-i \mathbf{Dk} z}$$

$$w_1 + w_2 \rightarrow w_3$$

$$\frac{d}{dz} E_3 = -i \frac{\mathbf{w}_3}{2n_3 c} \mathbf{c}_2 E_1 E_2 e^{+i \mathbf{Dk} z}$$

Désaccord de phase  $\mathbf{Dk} = k_3 - k_1 - k_2$

## . Équation de propagation de l'interaction non linéaire: doublage de fréquence

**Doublage de fréquence**       $w_1 = w_2 = w$  et  $w_3 = 2w$

$$2w - w \rightarrow w \quad \frac{d}{dz} E_w = -i \frac{w}{2n_w c} \mathbf{c}_2 E_{2w} E_w^* e^{-i Dk z}$$

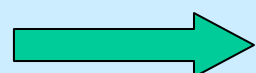
$$w + w \rightarrow 2w \quad \frac{d}{dz} E_{2w} = -i \frac{w}{n_{2w} c} \mathbf{c}_2 E_w^2 e^{+i Dk z}$$

reconversion

Pompe non déplétée:  $E_w(z) \approx E_0$

$$E_{2w}(z) = \frac{w}{n_{2w} c} \mathbf{c}_2 E_0^2 L \operatorname{sinc}\left(\frac{Dk l}{2}\right)$$

Rendement de conversion

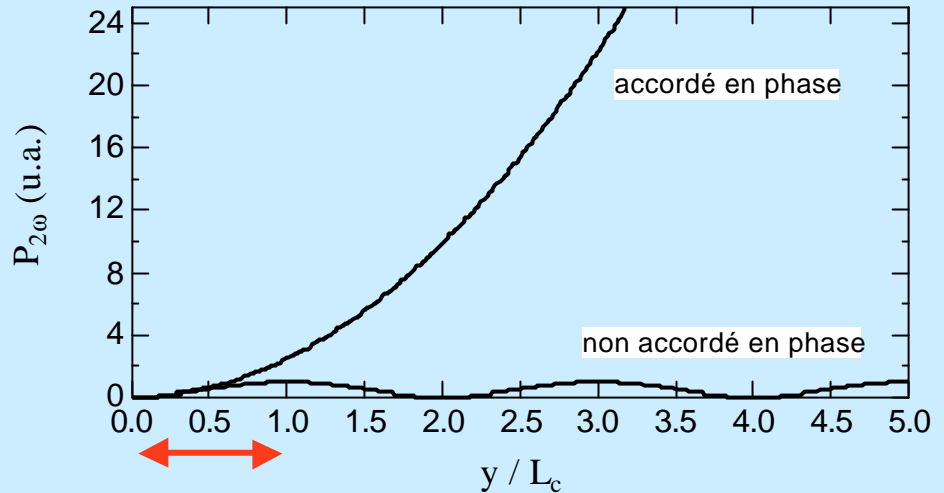


$$P_{2w}(z) = 2 \frac{Z_0^3}{n_{2w} c} (w e_0 c_2 L)^2 \operatorname{sinc}^2\left(\frac{Dk l}{2}\right) P_w^2$$



## Équation de propagation de l'interaction non linéaire: désaccord de phase dans le doublage de fréquence

$$P_{2W}(z) \propto L^2 \sin c^2\left(\frac{Dkl}{2}\right) P_W^2$$



**Longueur de cohérence:**

$$L_c = \frac{l_0}{4(n_{2W} - n_W)}$$

Exemple: dans GaAs

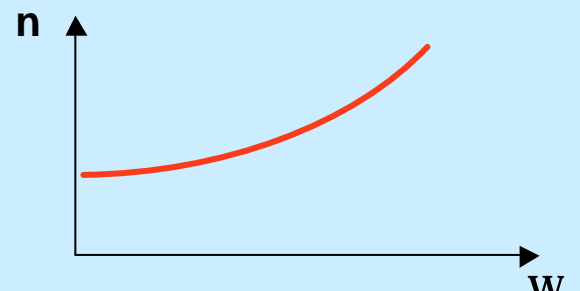
Fondamental 10,6 µm ® GSH 5,3 µm

$c = 100 \text{ pm/V}$

$n_2 - n_1 = 2,5 \cdot 10^{-2}$

$L_c = 106 \mu\text{m}$

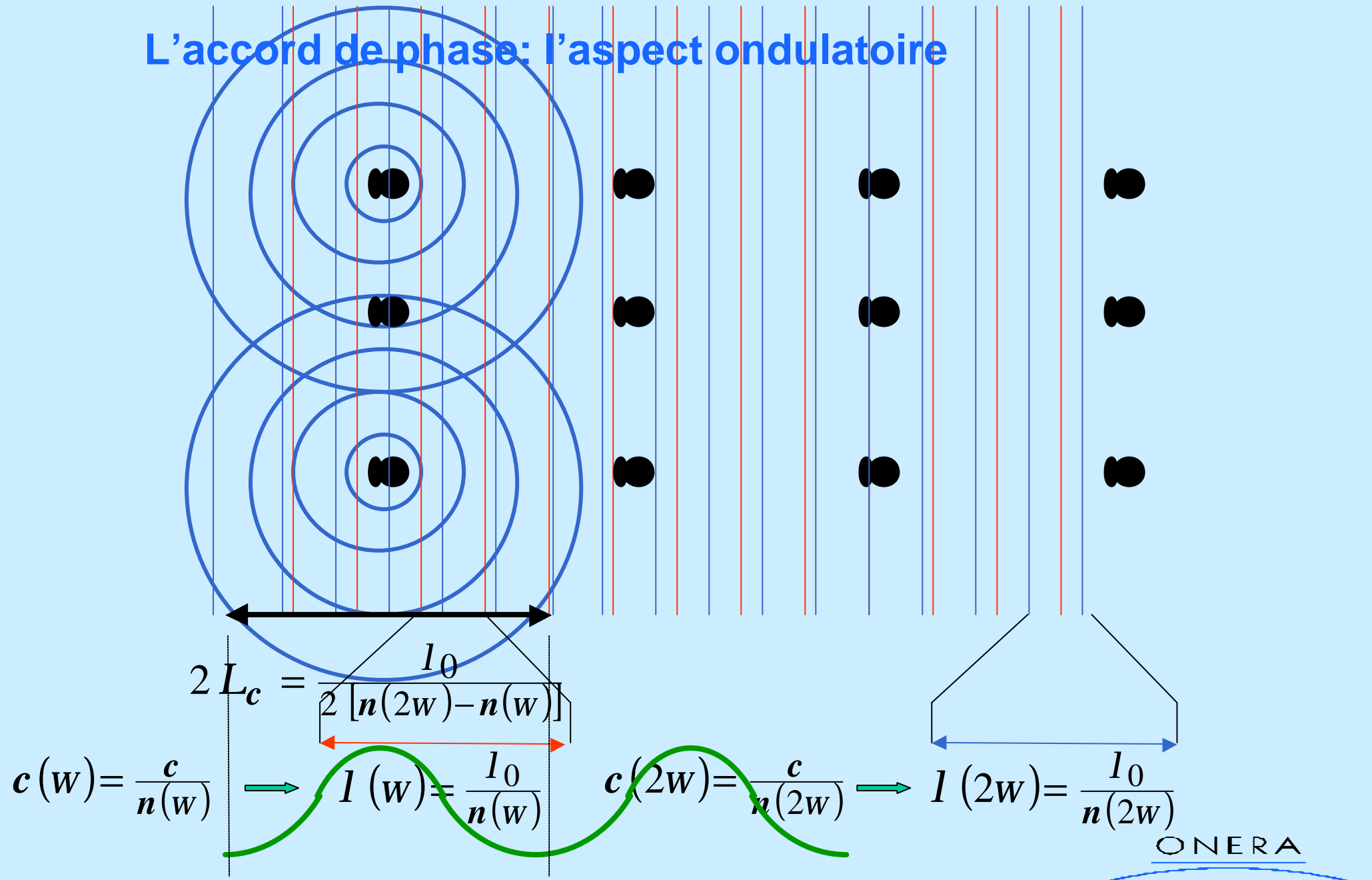
$P_2 = 10^{11} P_1^2 (\text{W/cm}^2)$



*dispersion*

ONERA

## L'accord de phase: l'aspect ondulatoire



### 3. Equations de Manley-Rowe: aspect corpusculaire

**abracadabra...:**  $A_j = \sqrt{\frac{n_j}{w_j}} E_j$  

**Amplitude de flux de photons:**

$$F_j = \frac{P_j}{\hbar w_j} = \frac{I}{2\hbar Z_0} |A_j|^2$$

$w_3 - w_2 \rightarrow w_1$

$$\frac{d}{dz} A_1 = -i \mathbf{k} A_3 A_2^* e^{-i \mathbf{Dk} z}$$

$w_3 - w_1 \rightarrow w_2$

$$\frac{d}{dz} A_2 = -i \mathbf{k} A_3 A_1^* e^{-i \mathbf{Dk} z}$$

$w_1 + w_2 \rightarrow w_3$

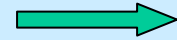
$$\frac{d}{dz} A_3 = -i \mathbf{k} A_1 A_2 e^{+i \mathbf{Dk} z}$$

**avec:**  $\mathbf{k} = \frac{1}{2} \frac{\mathbf{c}_2}{c} \sqrt{\frac{w_1 w_2 w_3}{n_1 n_2 n_3}}$

ONERA

## . Équations de Manley-Rowe: aspect corpusculaire

*Si:*  $Dk = 0$



$$\frac{d}{dz}(|A_1|^2) = \frac{d}{dz}(|A_2|^2) = -\frac{d}{dz}(|A_3|^2)$$

$$\frac{d}{dz}(F_1) = \frac{d}{dz}(F_2) = -\frac{d}{dz}(F_3)$$

## Manley-Rowe: conservation du flux de particules

### Interprétation corpusculaire

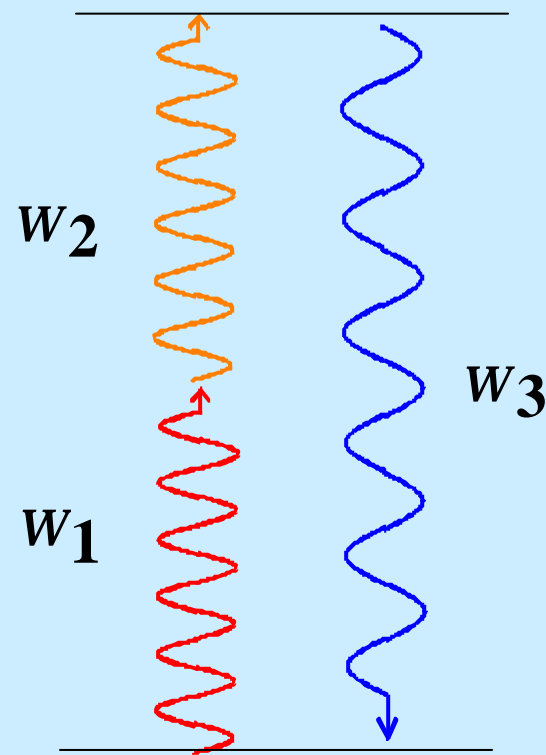
$$\hbar w_3 = \hbar w_1 + \hbar w_2$$

conservation de l'énergie

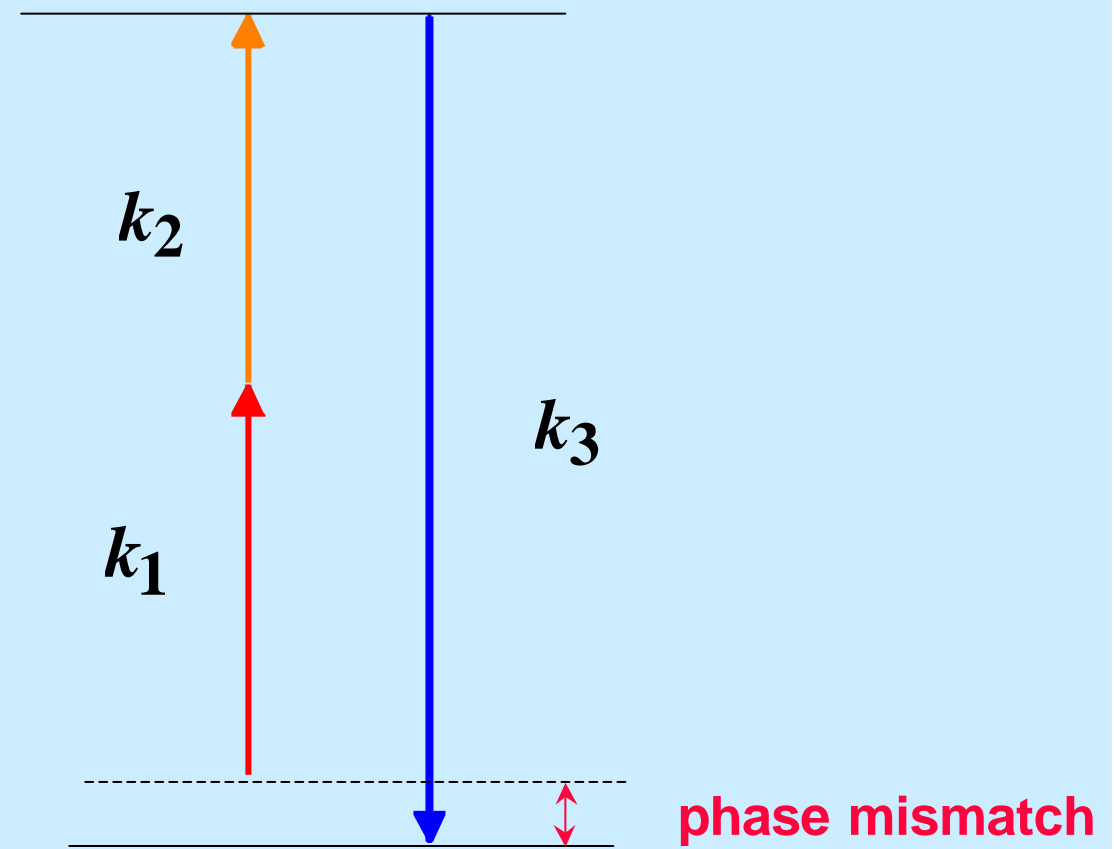
$$\hbar k_3 = \hbar k_1 + \hbar k_2$$

conservation de l'impulsion

# THE PHASE MATCHING PROBLEM: THE PHOTON ASPECT



energy conservation



momentum conservation

## 4. L'amplification paramétrique

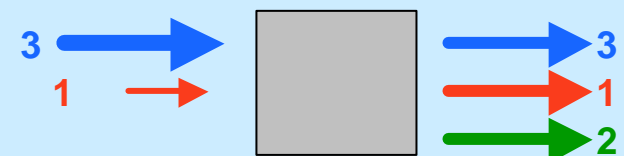
Hypothèse de la pompe non appauvrie  
avec accord de phase

$$\frac{d}{dz} A_1 = -i g A_2^*$$

$$\frac{d}{dz} A_2 = -i g A_1^*$$

Avec le gain paramétrique       $g = \frac{1}{2} \frac{c_2}{c} \sqrt{\frac{w_1 w_2}{n_1 n_2}} E_3(0)$

$$A_1(z) = A_1(0) \text{Cosh}(g z) - i A_2(0)^* \text{Sinh}(g z)$$
$$A_2(z) = A_2(0) \text{Cosh}(g z) - i A_1(0)^* \text{Sinh}(g z)$$



Pour des gains paramétriques forts

$$A_1(z) \approx A_2(z) \approx \frac{1}{2} A_1(0) e^{g z}$$

Exemple: dans GaAs pour 5 MW/cm<sup>2</sup>

Fondamental 5,3 μm ® 10,6 μm

c = 100 pm/V

G = 0,35 cm<sup>-1</sup>

#### 4. L'amplification paramétrique

### Génération et fluorescence paramétrique optique



$$|n_1, n_2, n_3\rangle \Rightarrow |n_1 + 1, n_2 + 1, n_3 - 1\rangle$$

Hypothèse de la pompe non appauvrie  
sans accord de phase

$$\frac{d}{dz} A_1 = -i g A_2^* e^{-i \mathbf{Dk} z}$$

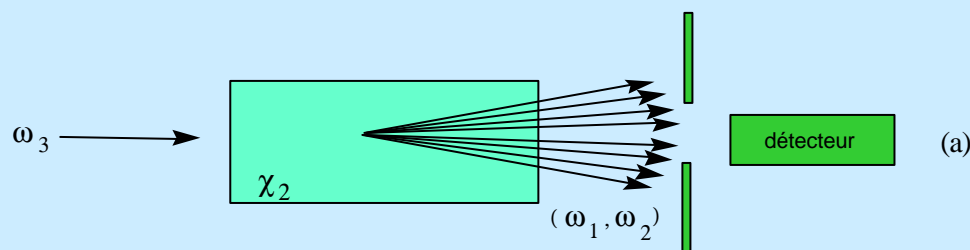
$$\frac{d}{dz} A_2 = -i g A_1^* e^{-i \mathbf{Dk} z}$$

Avec le gain paramétrique

$$g = \sqrt{g^2 - (\mathbf{Dk})^2}$$

$$A_2(z)^* = i \frac{g}{g} A_1(0) \operatorname{Sinh}(g z) e^{i \mathbf{Dk} z}$$

$A_1(0)$  correspond à un seul photon par mode



## Génération et fluorescence paramétrique optique

**Calcul effroyable:**

**Nombre de modes  $w_1$  entrant acceptable pour  $w_3$   
on met un photon  $w_1$  par mode et on utilise le résultat de la planche précédente**

**On somme sur toutes les paires acceptables tombant dans l'angle de vue  $q$  du détecteur**

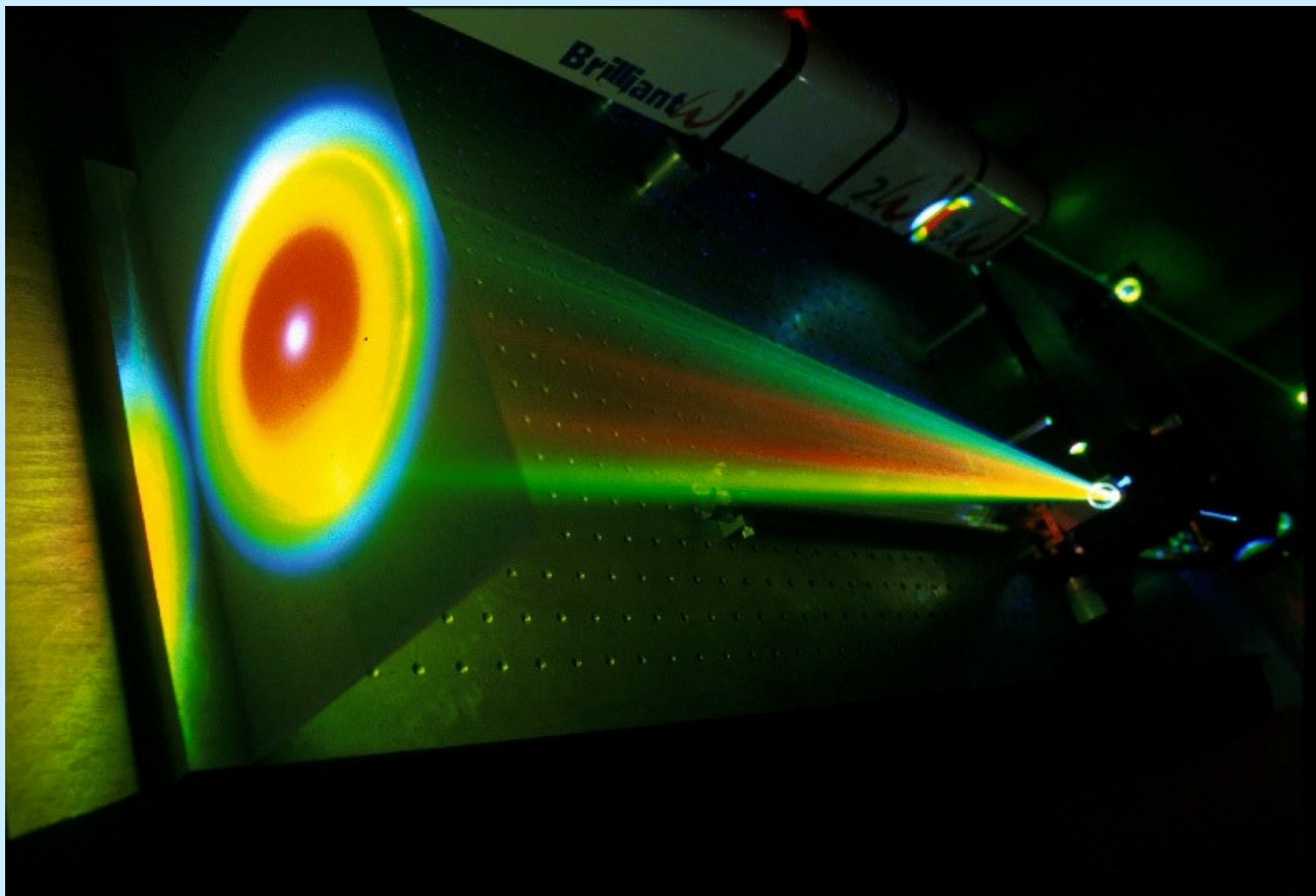
$$P_2 = p \frac{b L P_3}{|b|} q^2$$

$$b = \frac{\hbar w_1 w_2^4 n_2 c_2^2}{p^2 c^5 n_1 n_3 e_0^3}$$

$$b = \frac{\partial k_2}{\partial w_2} \Big|_{w_{20}} - \frac{\partial k_1}{\partial w_1} \Big|_{w_{10}}$$

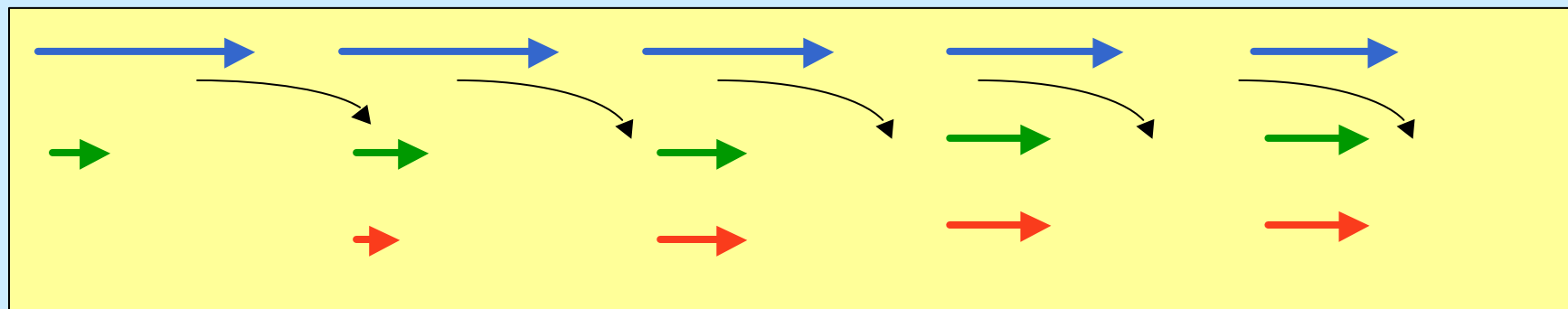
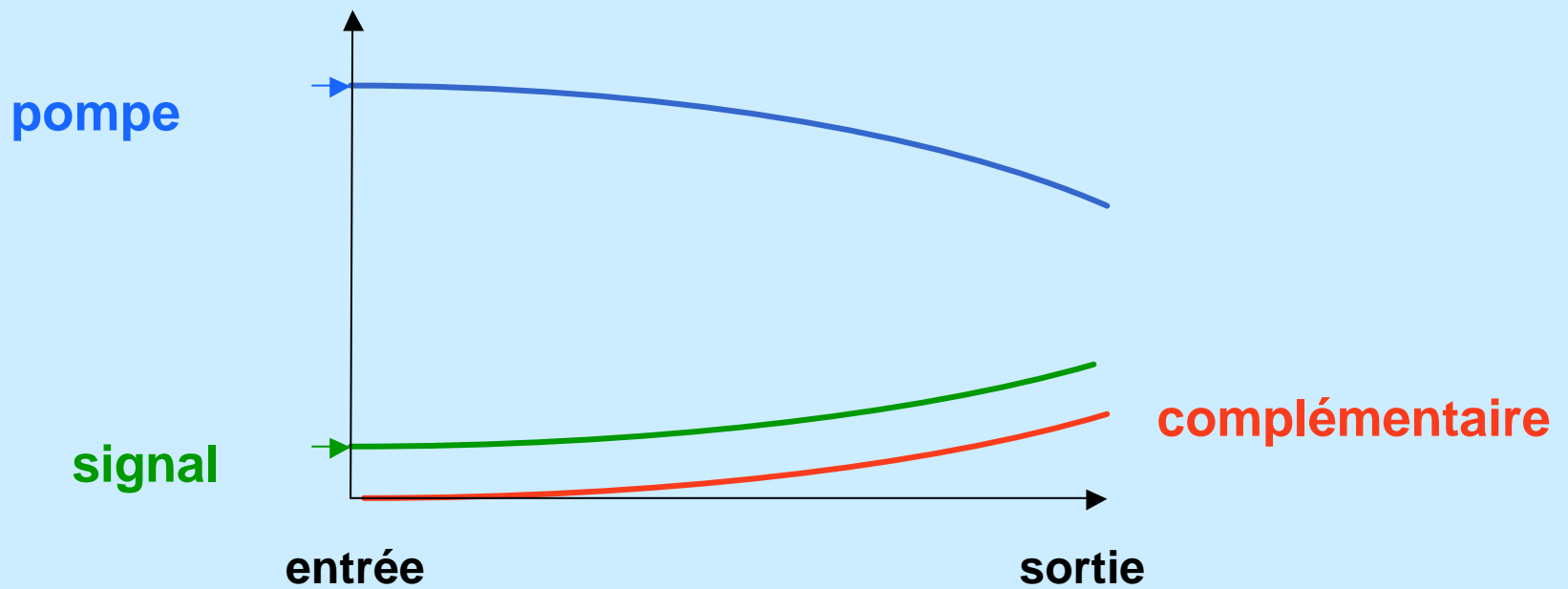
**Utilisation:**

- précurseur de l'oscillation paramétrique
- courbe d'accord de phase expérimentaux



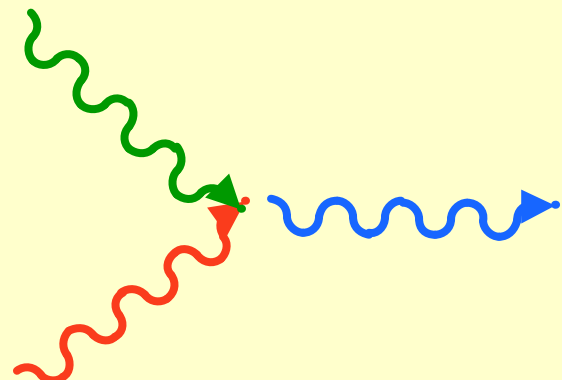
ONERA

# AMPLIFICATION ET FLUORESCENCE PARAMETRIQUE

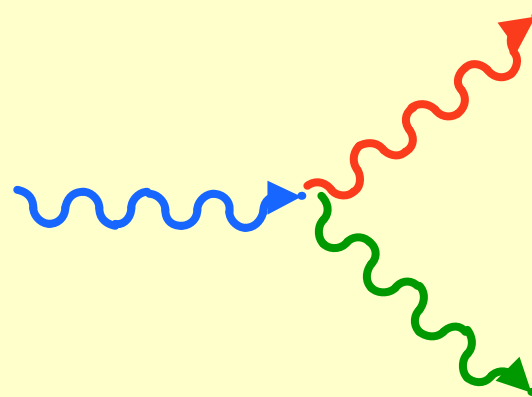


ONERA

## **Sum and Difference Frequency Generation vs parametric interaction**



**Sum Frequency Generation**



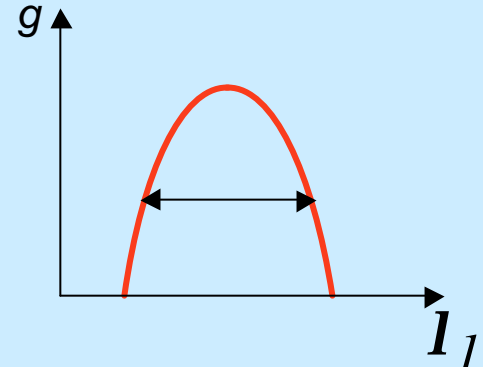
**Optical Parametric Generation**



## L'amplification paramétrique

Largeur de gain paramétrique

$$Dk L = \pm p$$



accord de phase

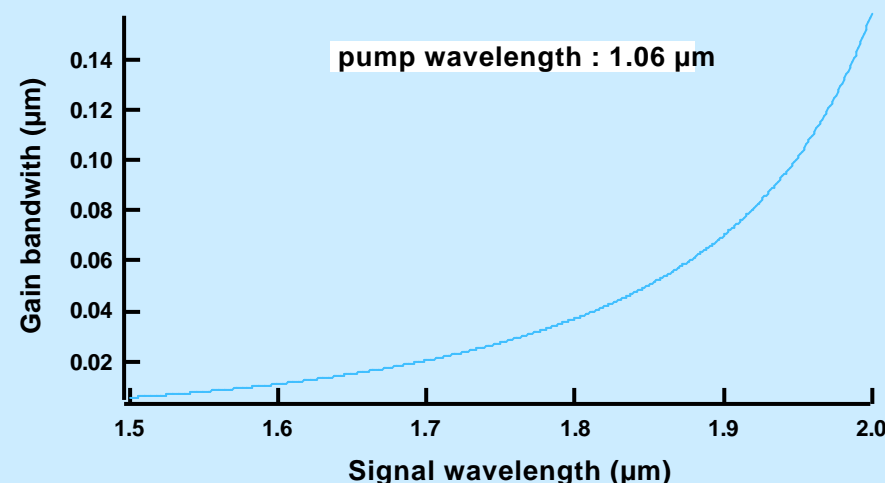
$$\frac{Dk}{2p} = \frac{n(I_3)}{I_3} - \frac{n(I_1)}{I_1} - \frac{n(I_2)}{I_2} = 0$$

Conservation  
de l'énergie

$$\frac{1}{I_3} = \frac{1}{I_1} + \frac{1}{I_2}$$

La pompe  $I_3$  est fixée

$$Dl_1 = \frac{I_1^2 / L}{\left( n_1 - n_2 + \frac{dn(I_2)}{dl_2} I_2 - \frac{dn(I_1)}{dl_1} I_1 \right)}$$

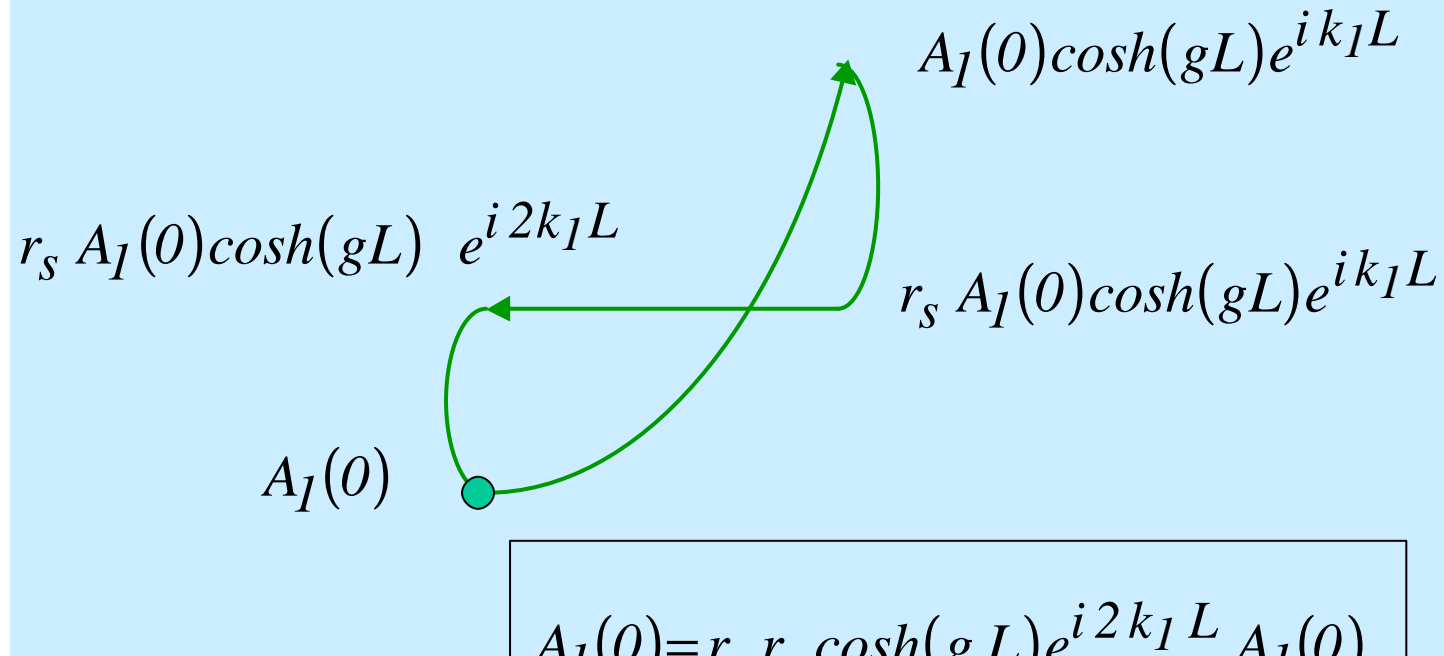


Accord de type I: polar. identique pour 1 et 2  
Accord de type II: polar. différente pour 1 et 2

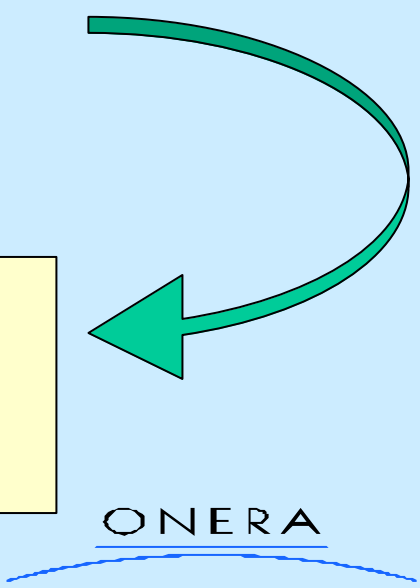
Niobate de lithium  
Accord de type I

ONERA

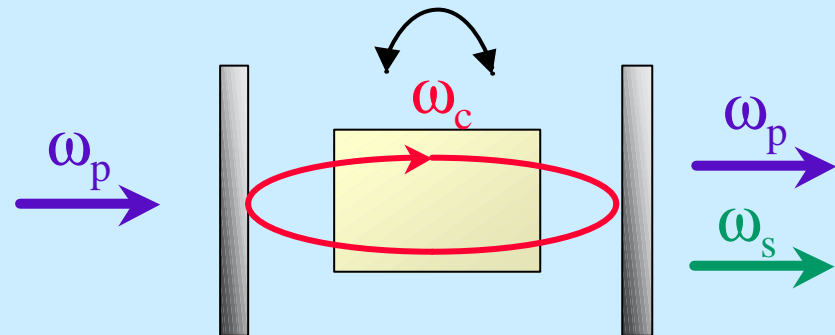
## 5. l'oscillateur paramétrique simplement résonant



$$\text{Cosh}(g_{\text{seuil}} L) = \frac{1}{\sqrt{R_e R_s}}$$
      **Condition sur l'amplitude de pompe**  
$$k_1 L = m p$$
      **Condition de résonance**



## Optical Parametric Oscillator: basic principles



$$\omega_s + \omega_c = \omega_p$$
$$\mathbf{k}_s + \mathbf{k}_c = \mathbf{k}_p$$

(energy conservation)

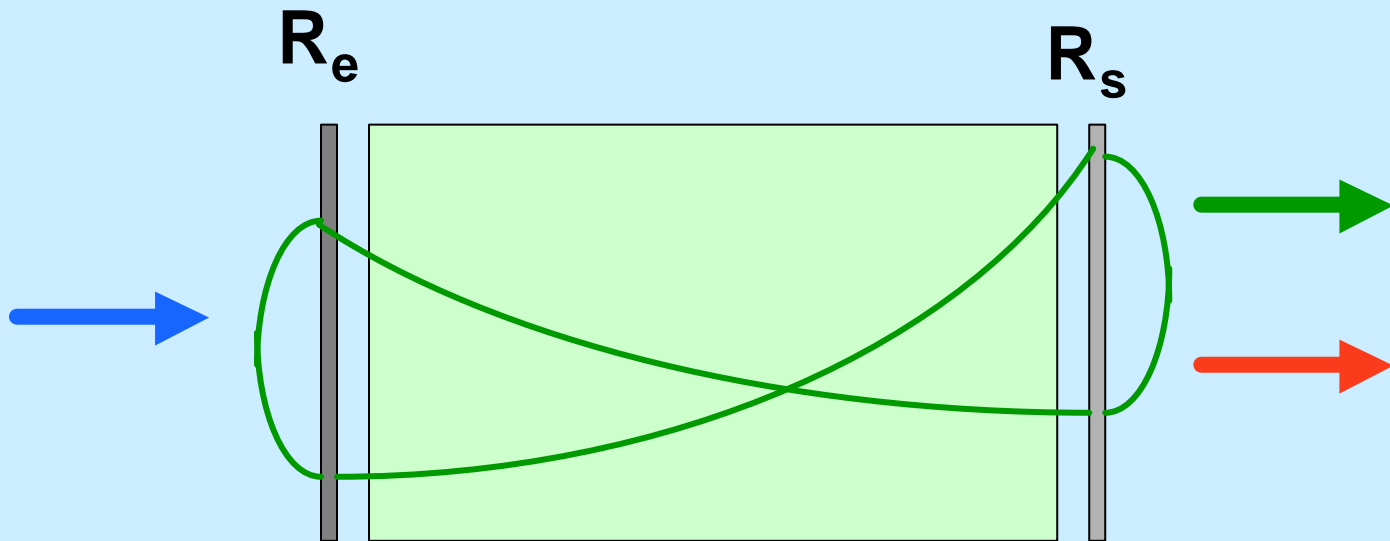
(phase matching condition)

1.064  $\mu\text{m}$

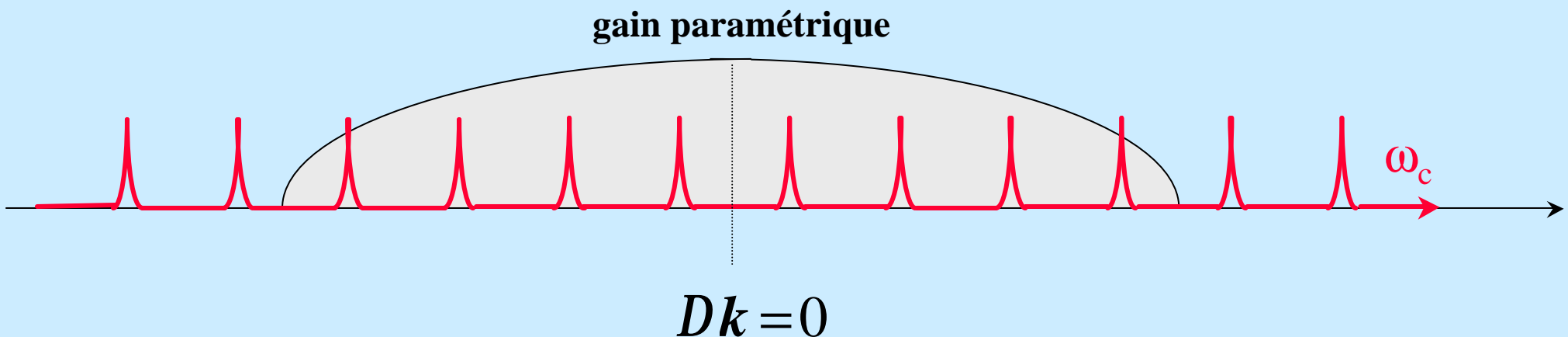
1.4 \* 1.6  $\mu\text{m}$

3 \* 5  $\mu\text{m}$

## SINGLY RESONANT OPO (SROPO)

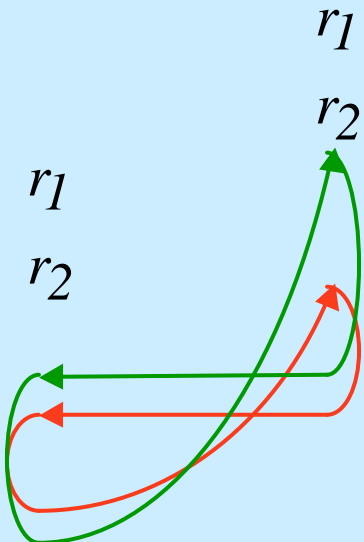


**SEUIL:**  
gain = perte  
 $g(I_{pompe})L \gg \sqrt{T}$



ONERA

## 5. l'oscillateur paramétrique doublement résonant



$$A_1(0) = \left[ A_1(0) \cosh(gL) - i A_2(0)^* \sinh(gL) \right] r_1^2 e^{i2k_1 L}$$

$$A_2(0) = \left[ A_2(0) \cosh(gL) - i A_1(0)^* \sinh(gL) \right] r_2^2 e^{i2k_2 L}$$



$$\det \begin{bmatrix} r_1^2 \cosh(gL) e^{i2k_1 L} - 1 & -i r_1^2 \sinh(gL) e^{i2k_1 L} \\ i r_2^2 \sinh(gL) e^{i2k_2 L} & r_2^2 \cosh(gL) e^{i2k_2 L} - 1 \end{bmatrix} = 0$$



$$\cosh(g_{\text{seuil}} L) = \frac{1 + R_1 R_2}{R_1 + R_2}$$

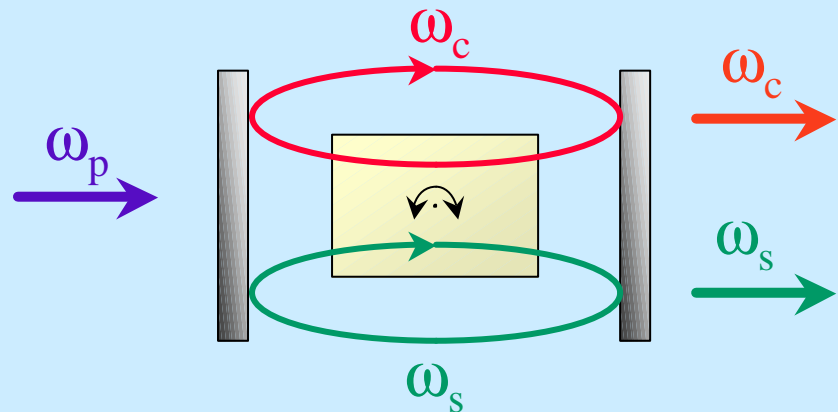
Condition sur l'amplitude de pompe

$$k_1 L = m p$$

Conditions de résonance

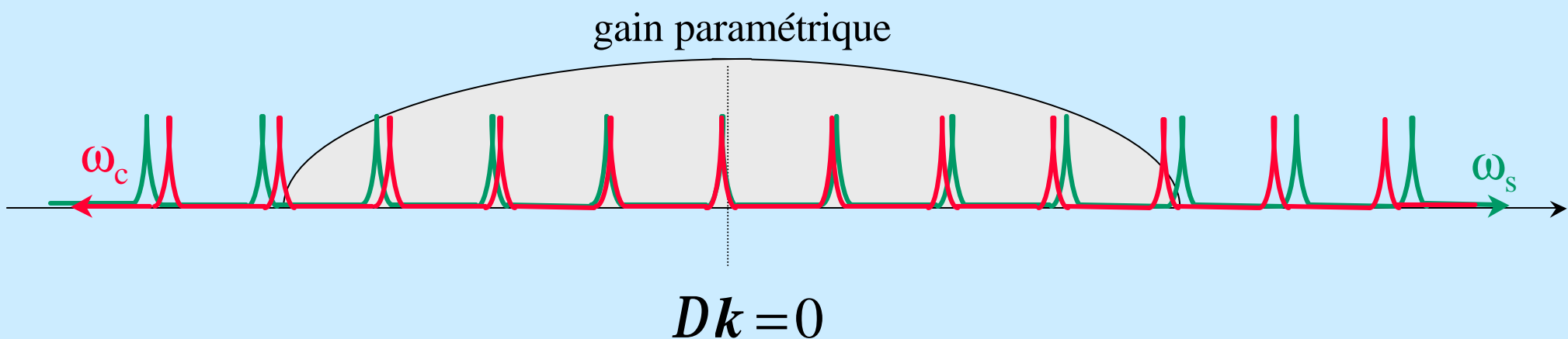
$$k_2 L = n p$$

## DOUBLY RESONANT OPO (DROPO)



**SEUIL:**  
gain = perte

$$g(I_{pompe})L \gg \sqrt{T_s T_c}$$



ONERA

## 5. l'oscillateurs paramétriques optiques: 2 exemples

GaAs :  $c = 100 \text{ pm/V}$

$n = 3.2$

$l = 5 \mu\text{m}$

$L = 5 \text{ mm accordé en phase}$

SROPO:  $R_e = R_s = 99\%$

$$\text{Cosh}(g_{\text{seuil}} L) \approx \sqrt{1 - R_1}$$



$P_{\text{seuil}} = 6 \text{ MW/cm}^2$

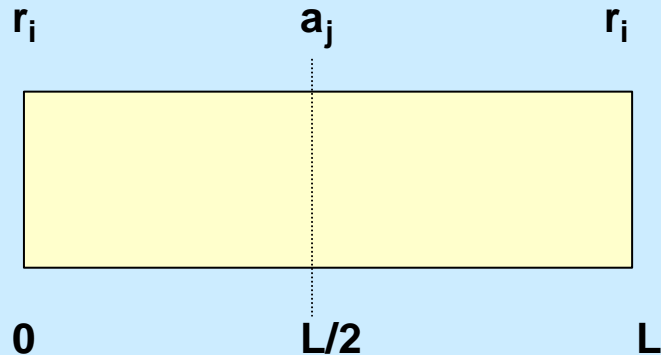
DROPO:  $R_e = R_s = 99\%$

$$\text{Cosh}(g_{\text{seuil}} L) \approx \sqrt{(1 - R_1)(1 - R_2)}$$



$P_{\text{seuil}} = 0,2 \text{ MW/cm}^2$

## 6. Comportement dynamique des OPO



$$\frac{d}{dt}a_1(t) = -\frac{a_1}{t_1} + \mathbf{g}_1 a_2 a_3$$

$$\frac{d}{dt}a_2(t) = -\frac{a_2}{t_2} + \mathbf{g}_2 a_1 a_3$$

$$\frac{d}{dt}a_3(t) = f(t) - \frac{a_3}{t_3} - \mathbf{g}_3 a_1 a_2$$

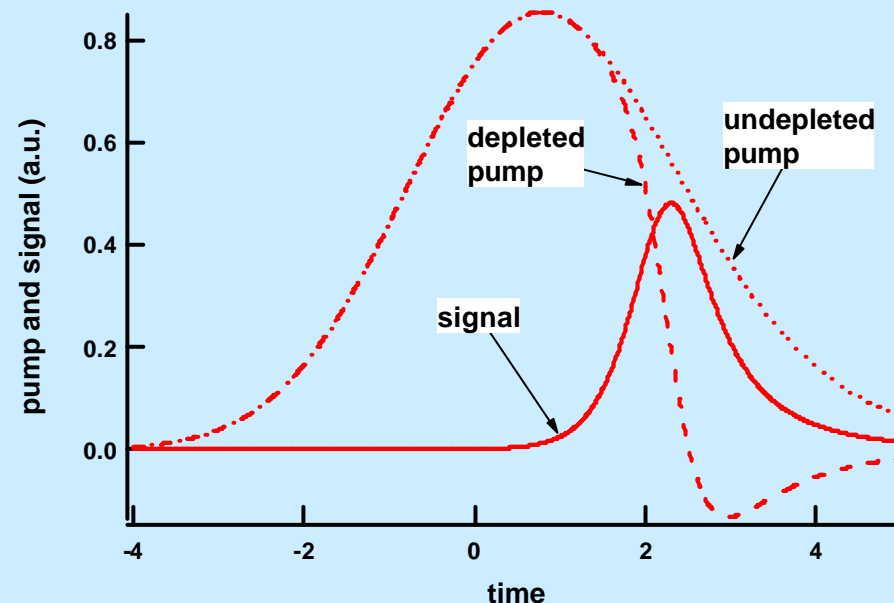
avec

$$t_j = \frac{T_{AR}}{1-r_j}$$

$$\text{et } \mathbf{g}_j = (1+r_j) \frac{\mathbf{k} c'}{4}$$

Linéarisation des équations

$$u_i^n(L) = u_i^n(L/2) \pm \frac{\mathbf{k} L}{2} u_j^n(L/2) u_k^n(L/2)$$



 ONERA

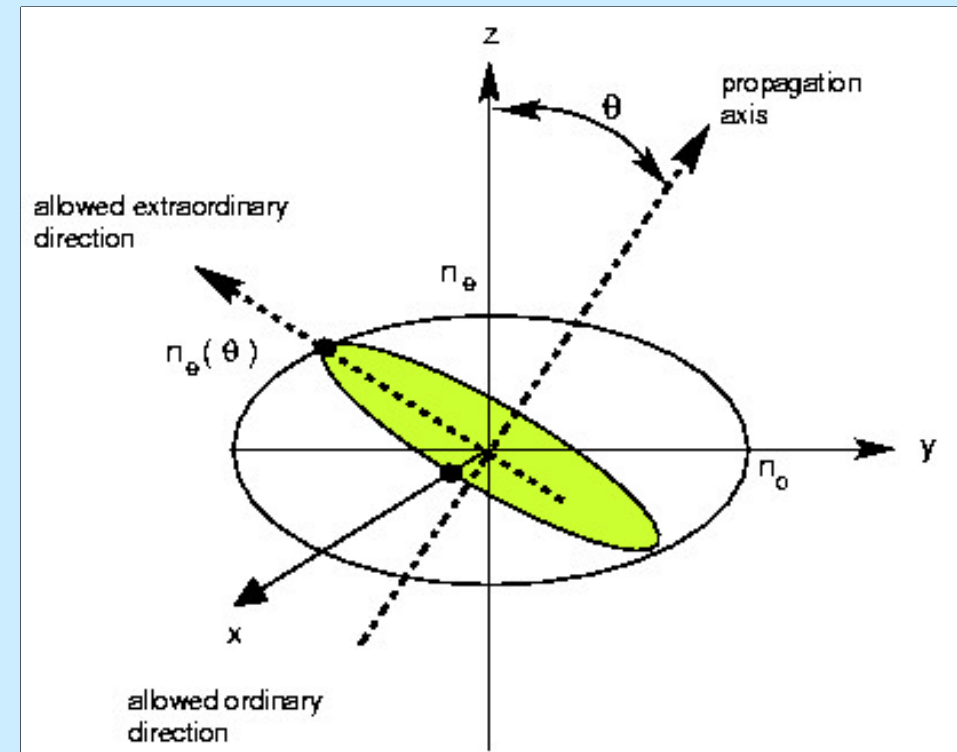
## 7.a Accord de phase par biréfringence

Cristal biréfringent d'axe optique Oz

$n_o$  Indice ordinaire ( $Ox, Oy$ )

$n_e$  Indice extraordinaire ( $Oz$ )

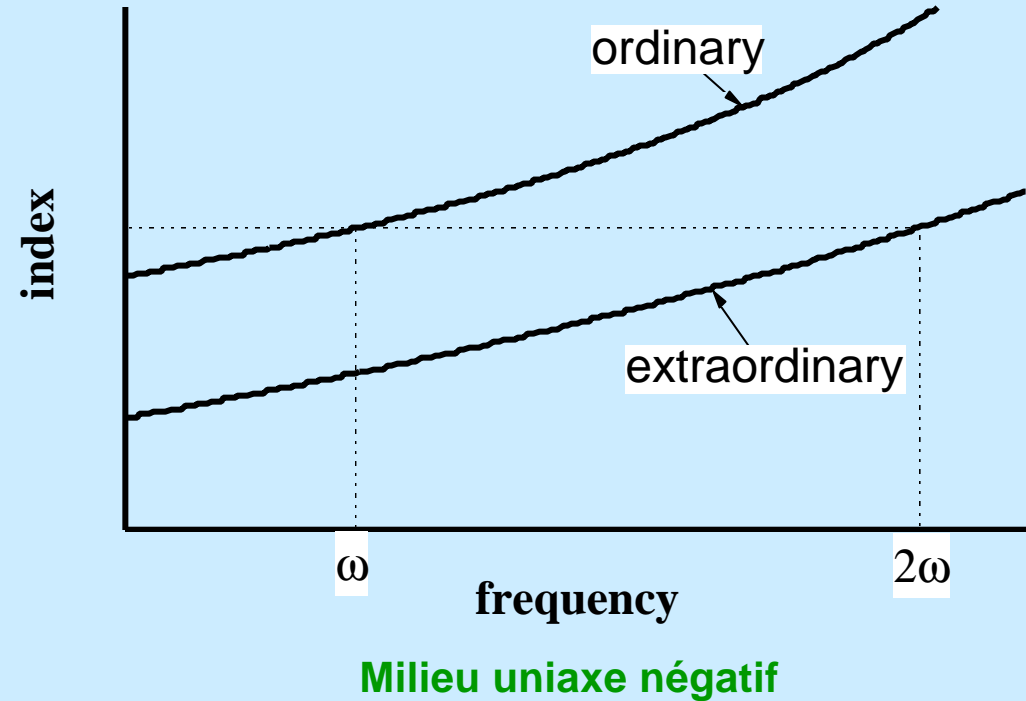
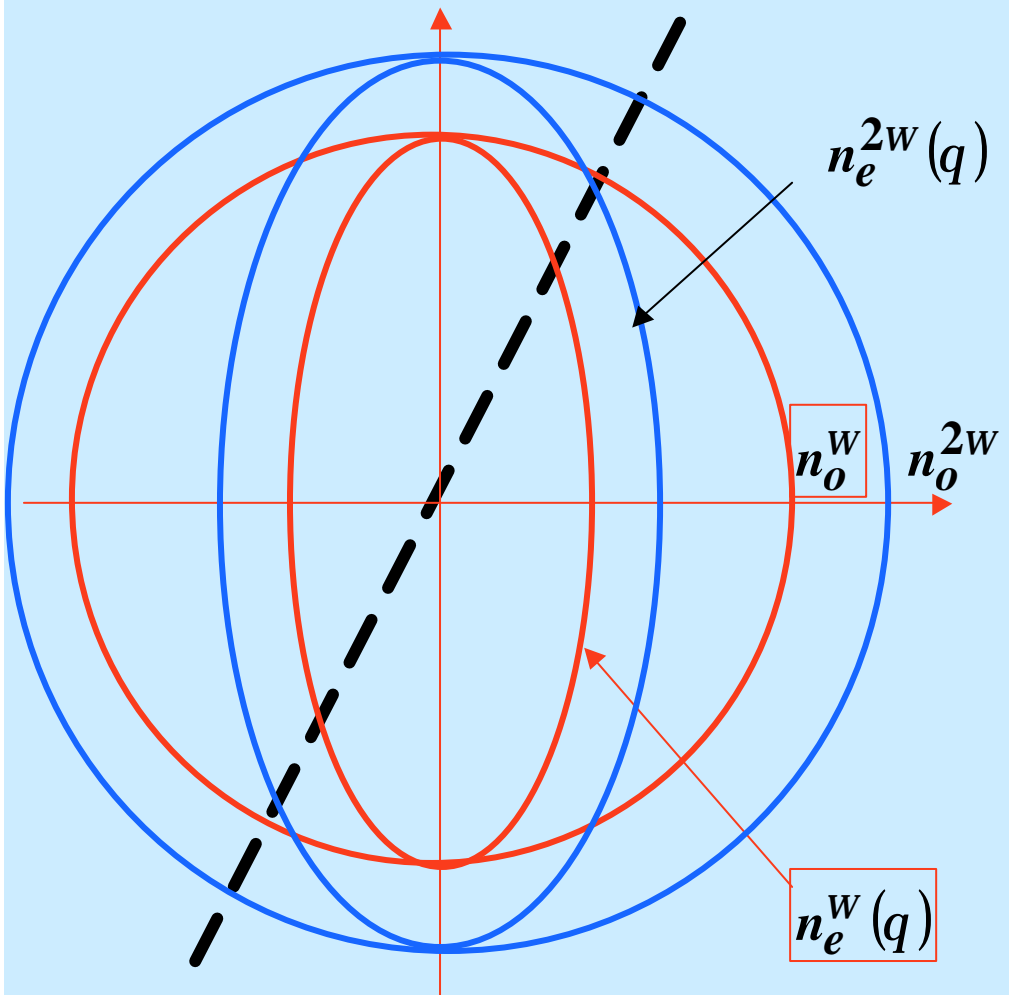
$$\frac{1}{n_e^2(\mathbf{q})} = \frac{\cos^2 \mathbf{q}}{n_o^2} + \frac{\sin^2 \mathbf{q}}{n_e^2}$$



Une onde se propage dans  $zOy$  avec un angle avec l'axe optique: deux directions de propagation de polarisation linéaire

- L'indice ordinaire (le long de  $Ox$ ) est indépendant de l'angle  $q_s$
- L'indice extraordinaire dépend de l'angle  $q_s$

# Accord de phase par biréfringence



$$n_e^{2W}(q) = n_o^W(q) \text{ P accord de phase}$$

## 7.a Exemple : doublage dans le niobate de lithium

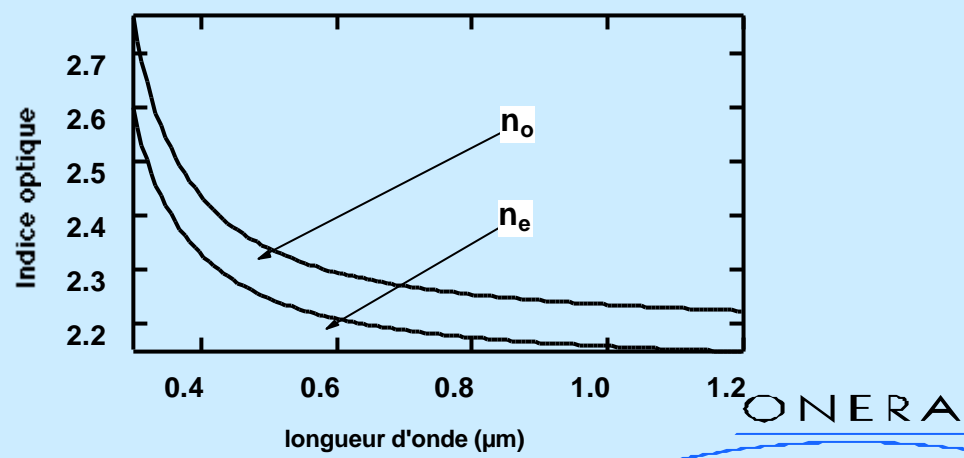
$$n_e(2w, \mathbf{q}_s) = n_o(w) \quad \longrightarrow \quad \frac{1}{n_o(w)^2} = \frac{\cos^2 \mathbf{q}_s}{n_o(2w)^2} + \frac{\sin^2 \mathbf{q}_s}{n_e(2w)^2}$$

**Relation de Sellmeier**

$$n^2 = A - \frac{B}{C - I^2} - D I^2$$

	A	B	C	D
$n_e$	4.5820	0.099169	0.044432	0.021950
$n_o$	4.9048	0.11768	0.04750	0.027169

**Exemple : 1,3 μm ® 0,65 μm  
 $\mathbf{q}_s = 45^\circ$**

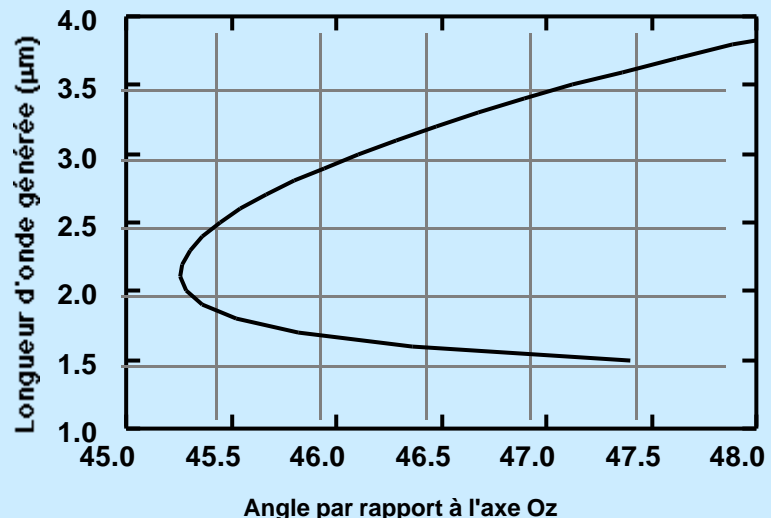


## 7.a Exemple : oscillation paramétrique dans le niobate de lithium

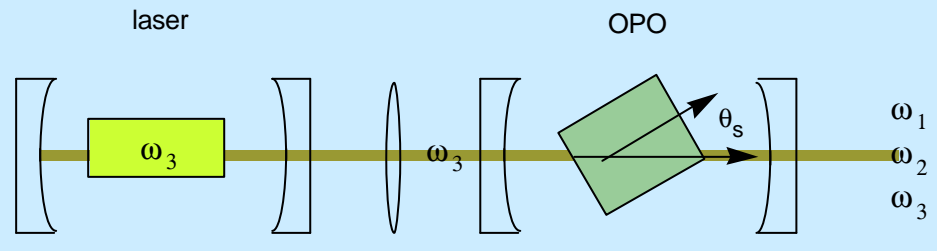
Accord de phase ® eeo

$$w_1 + w_2 = w_3$$

$$n_o(w_1)w_1 + n_o(w_2)w_2 = n_e(w_3, q_s)w_3$$



Accord de longueur d'onde par rotation



$$R = 1$$

$$R = 1$$

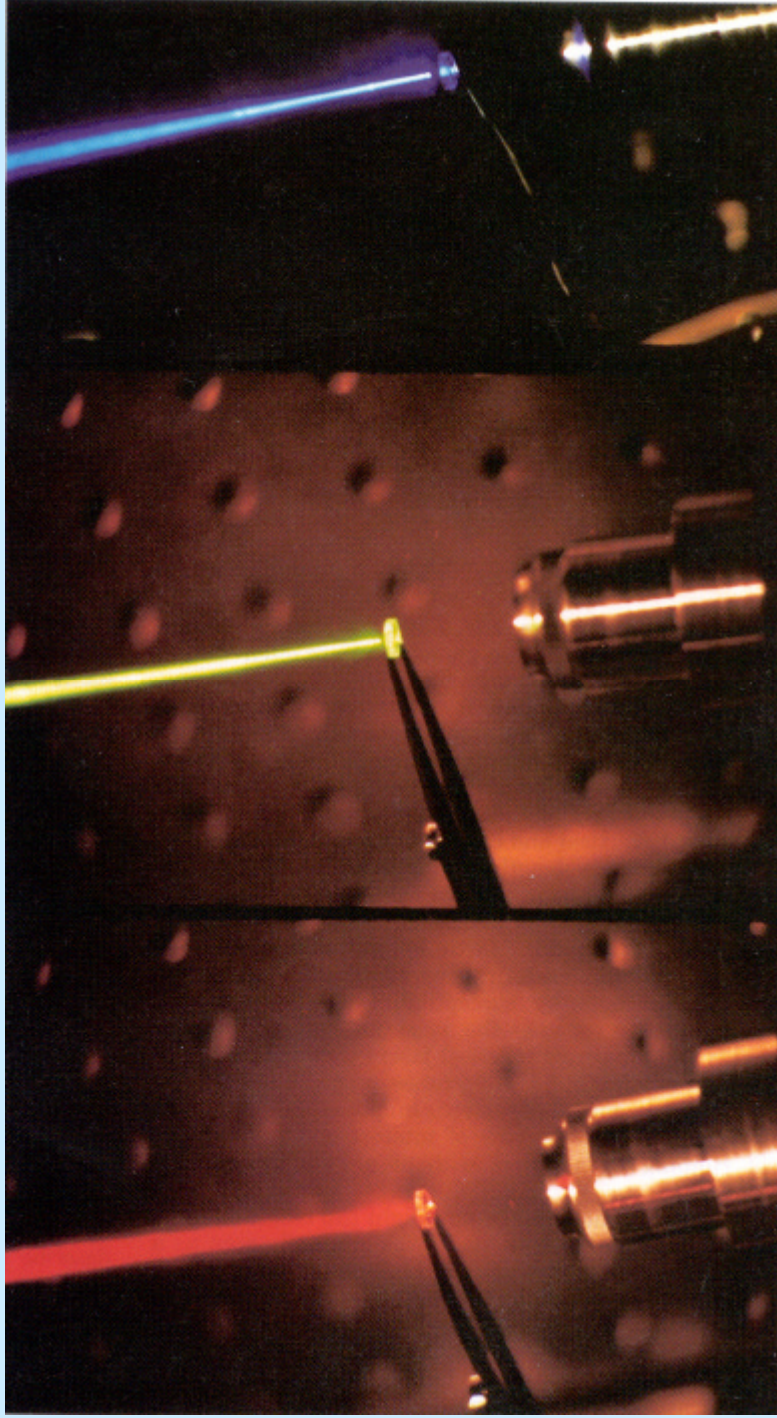
$$R = 0$$

$$R \text{ proche de } 1 \quad \omega_1$$

$$R \text{ proche de } 1 \quad \omega_2$$

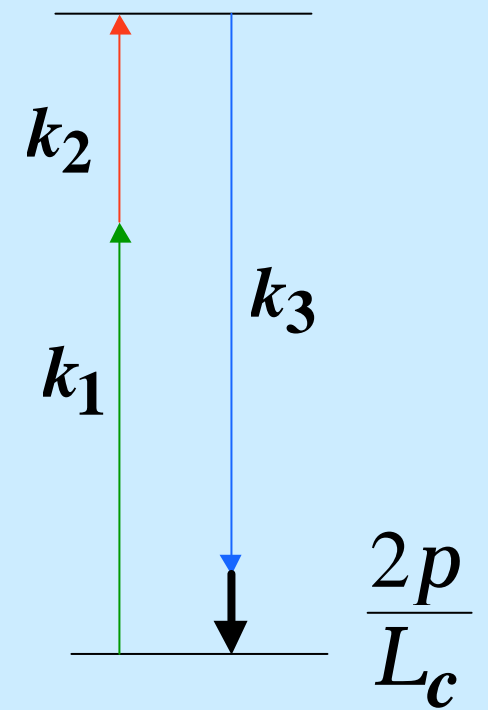
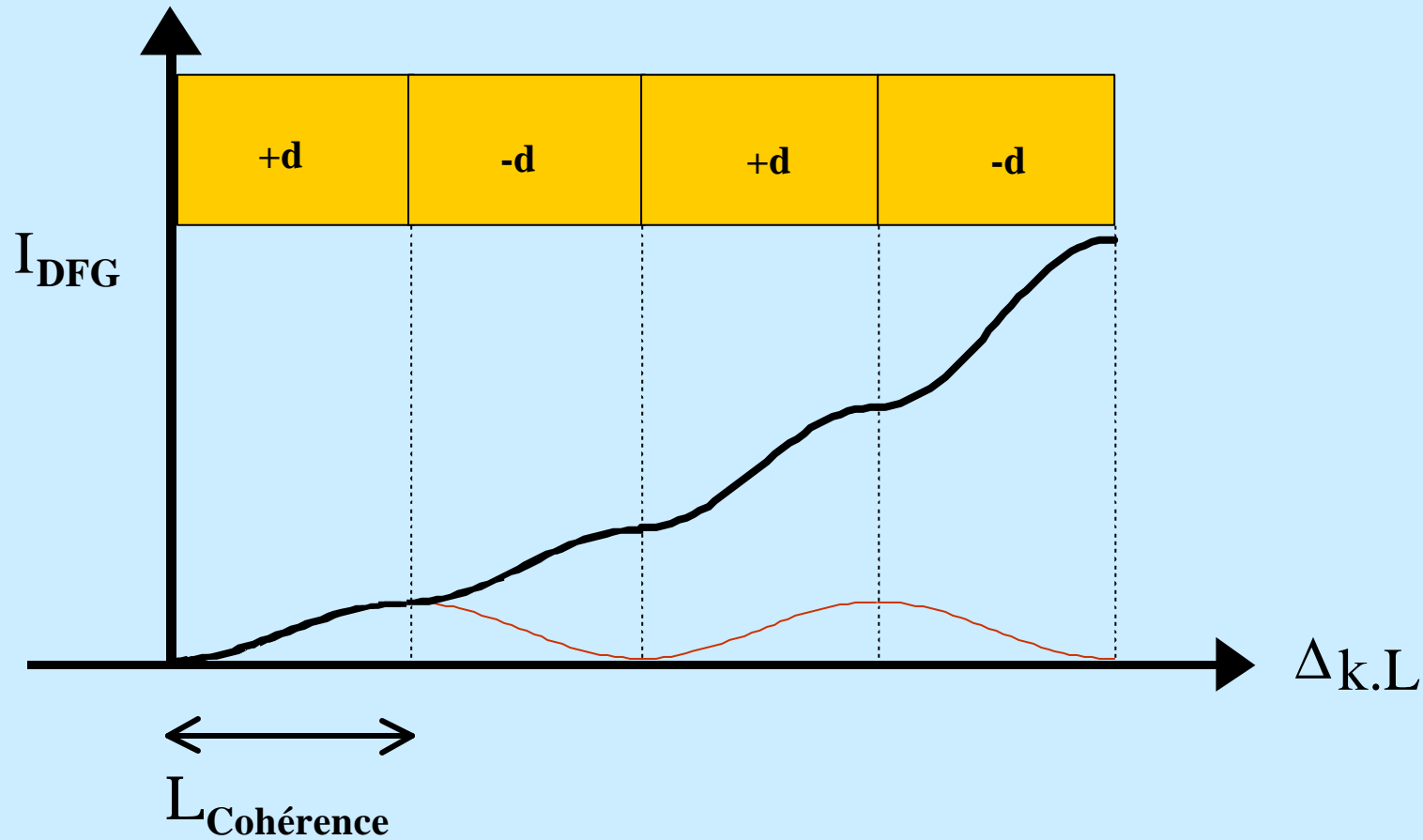
$$R = 0 \quad \omega_3$$





ONERA

## 7.b First order quasi-phase matching



## 7.b le quasi accord de phase

**Indice non linéaire modulé**     $\mathbf{c}_2(z) = \mathbf{c}_2 f(z)$     avec     $f(z) = \sum_n f_n e^{in(2\mathbf{p}/L)z}$

**Pompe non appauvrie**     $\frac{d}{dz} E_{2W} = -i \frac{\mathbf{w}}{n_{2W} c} \mathbf{c}_2 E_W^2 f(z) e^{+iDkz}$

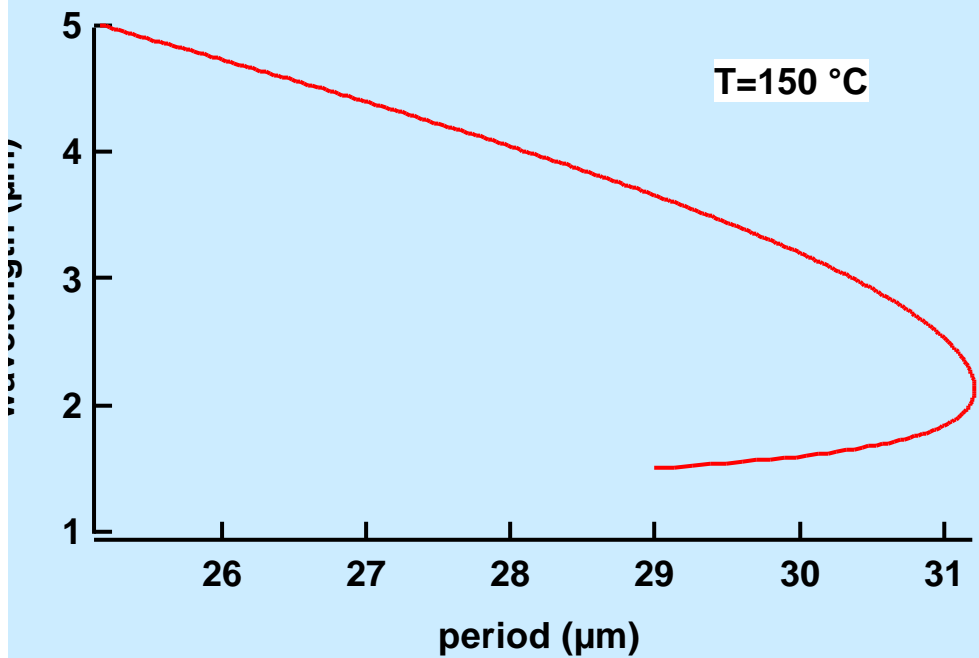
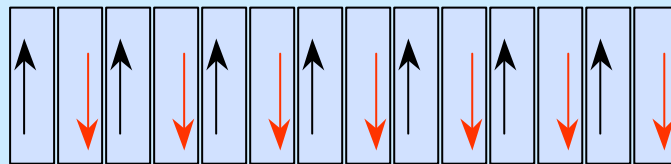
→     $E_{2W}(z) = -i \frac{\mathbf{w}}{n_{2W} c} \mathbf{c}_2 E_W^2 \int_0^L f(z) e^{+iDkz} dz$

**Seul terme non nul**     $k_{2W} - 2k_W = n \frac{2p}{L}$     soit     $L = (2n+1)L_c$

**Susceptibilité effective**     $\mathbf{c}_2^{eff} = \mathbf{c}_2 |f_n| = \frac{2}{p} \mathbf{c}_2$

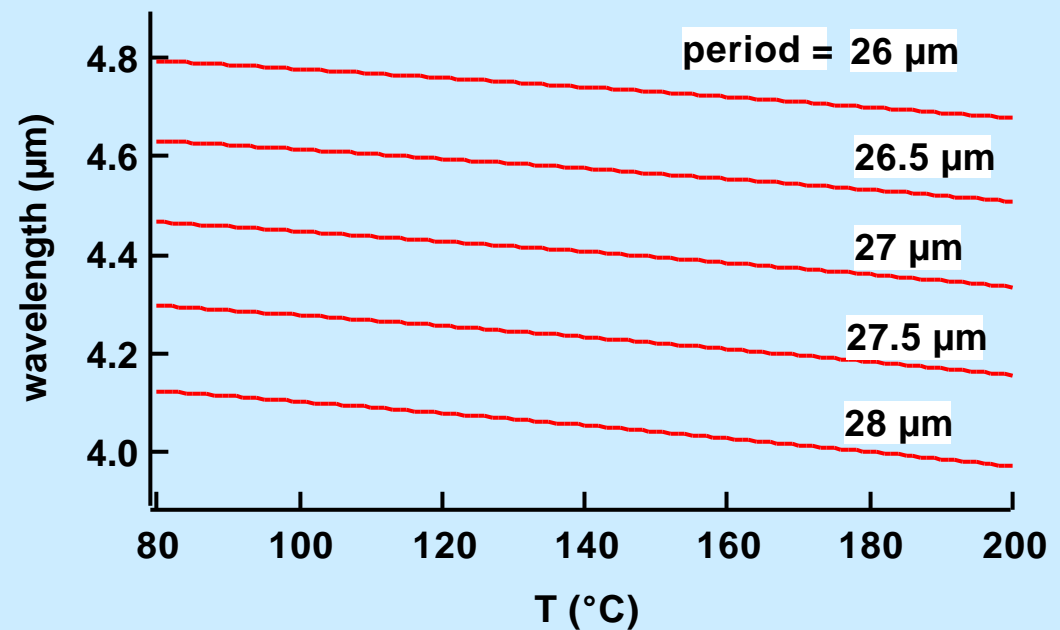


# Periodically Poled Lithium Niobate



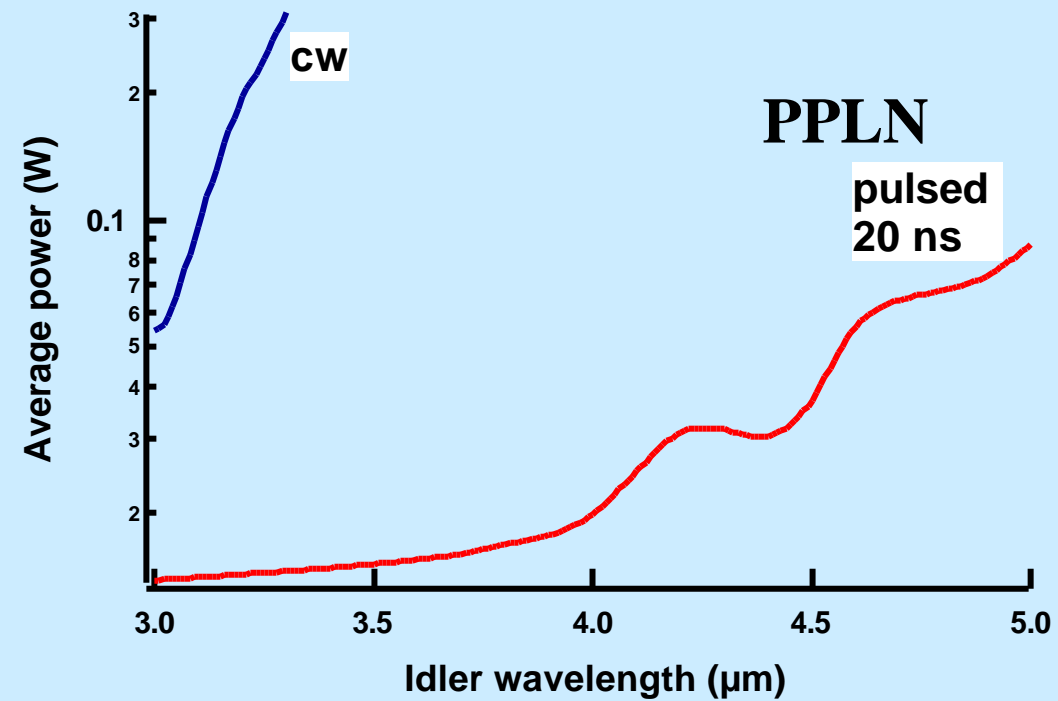
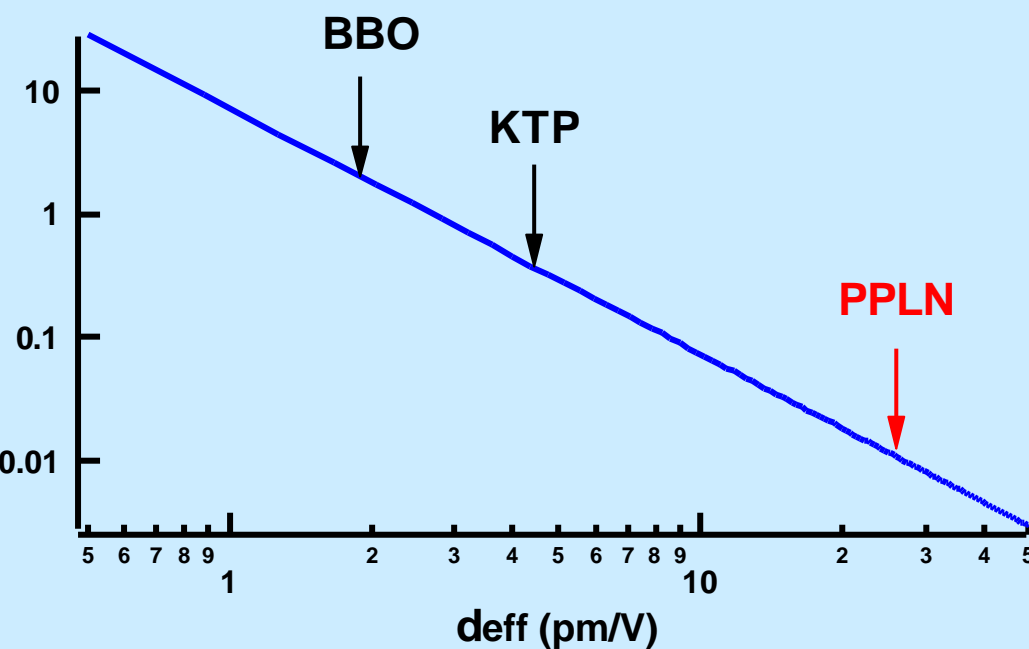
wavelength vs period

$d_{\text{eff}} = 27 \text{ pm/V} !!!!!$



wavelength vs T

## Optical Parametric Oscillator Threshold: PPLN breakthrough

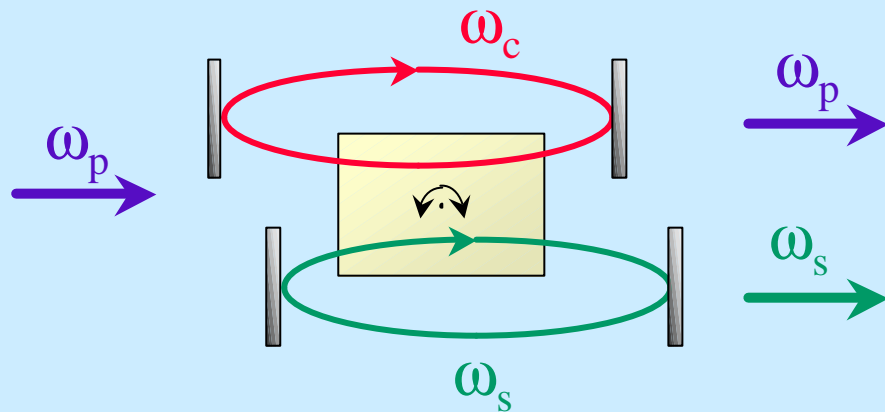
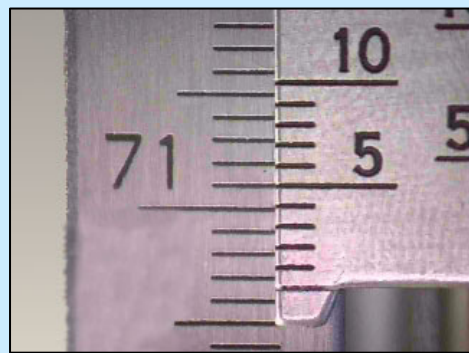


Gaussian pulse ;DROPO,  $\Phi = 40 \mu m$ ;  
 $f = 10 \text{ kHz}$  ;  $L_{cav} = 2 \text{ cm}$

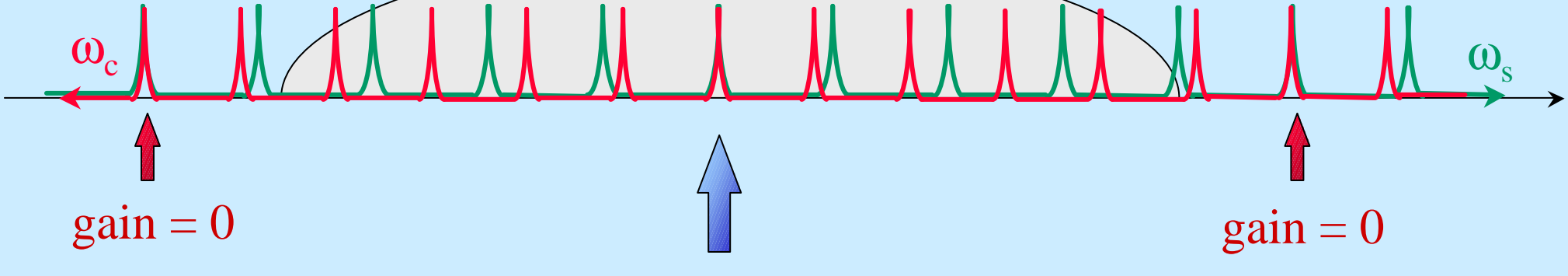
## **8. Quelques développements récents**

- 8.a Etat de l'art des OPO impulsionnels**
- 8.b Etat de l'art des OPO continus**
- 8.b Accord de phase dans les guides d'ondes**
- 8.c Biréfringence de Fresnel**
- 8.d Amplification paramétrique géante d'impulsions chirpées**
- 8.e Matériaux non linéaire quantique**

# Entangled Cavity Doubly resonant OPO

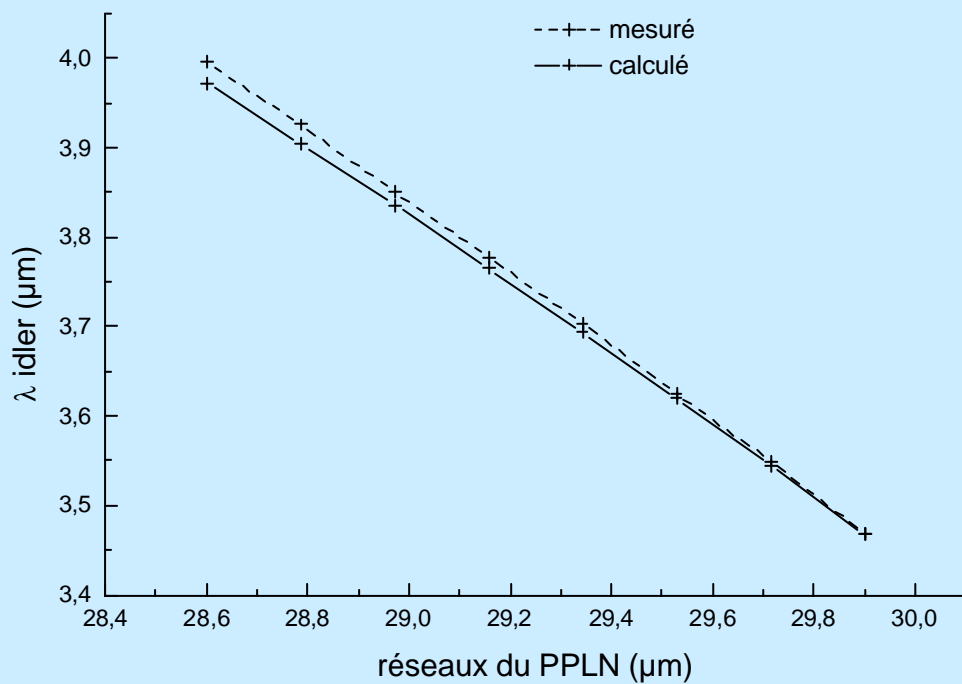
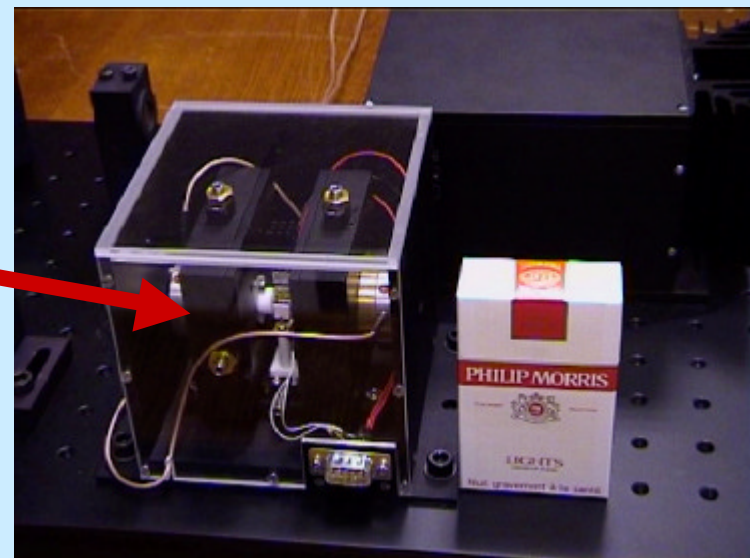
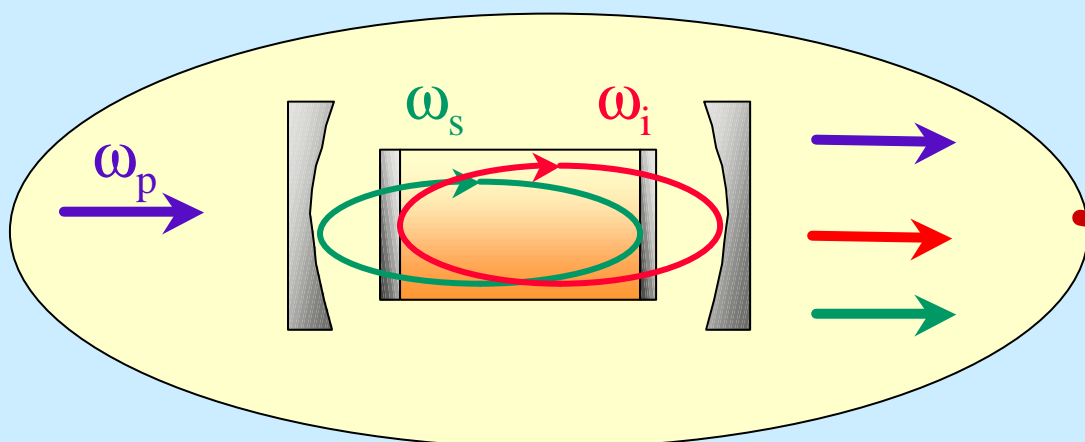


Parametric gain



Single frequency emission

# Semi-monolithic dual cavity mid-IR DROPO



## Performances :

$f \sim 15 \text{ kHz}$

$E = 1 \text{ } \mu\text{J/pulse}$

$\lambda_i$  tunable 3 to 4,5  $\mu\text{m}$

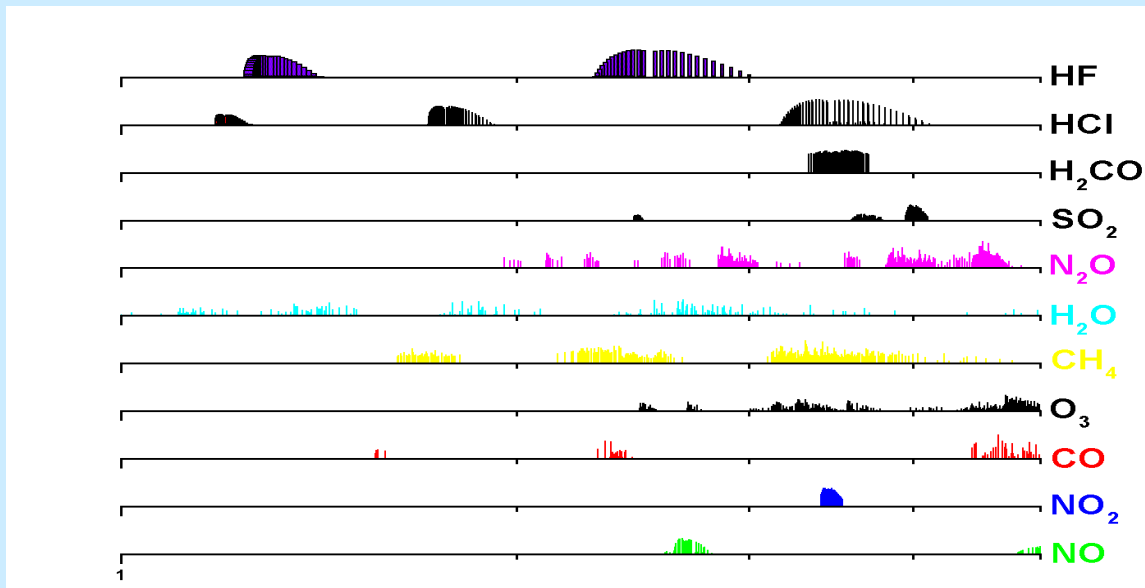
Threshold  $\sim 4 \text{ } \mu\text{J/pulse}$

**single frequency ( $\sim 200 \text{ MHz}$ )**

ONERA

Lefebvre, Rosencher, Ribet, Drag JOSA 2000, OL 2002

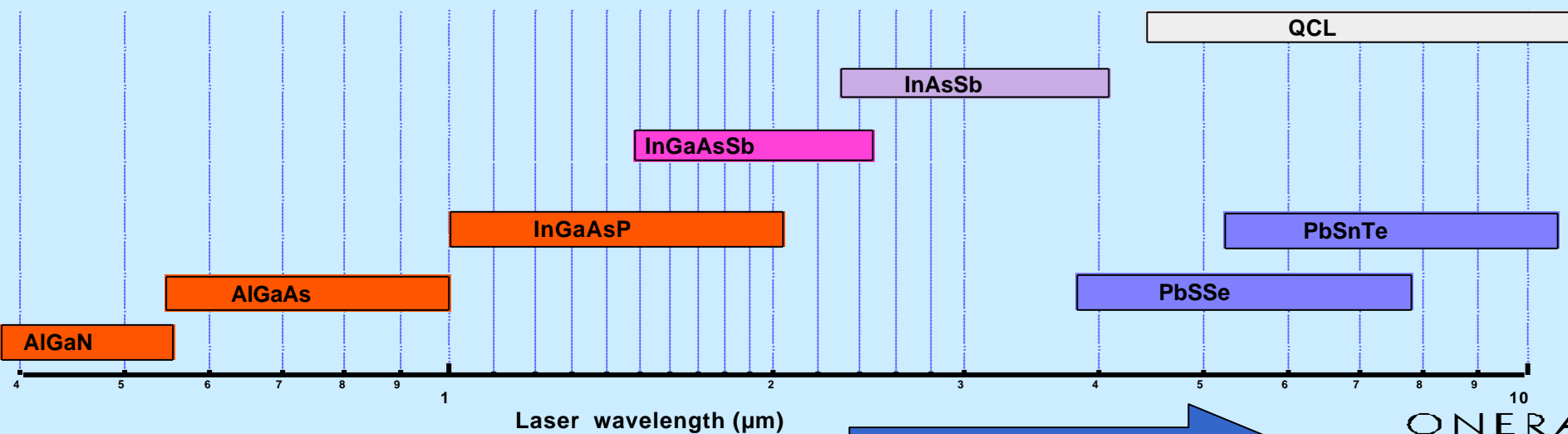
# Diodes laser vs OPO



Tunability

single Pulsed OPO

Single diode



# SEMICONDUCTORS

- $0.45 \mu\text{m} < l_{\text{cutoff}} < 20 \mu\text{m}$  ( $0.05 \text{ eV} < E_{\text{gap}} < 3 \text{ eV}$ )



- High nonlinear performance (band theory) :

$$P_{NLO} \propto \frac{d^2}{n^3} \propto \frac{E_{\text{gap}}^{-4}}{E_{\text{gap}}^{-3}} \propto l_{\text{cutoff}}$$

Second Fermi Golden Rule

Transmission including Fresnel losses (%)

Harmonic oscillator



- Large transparency region



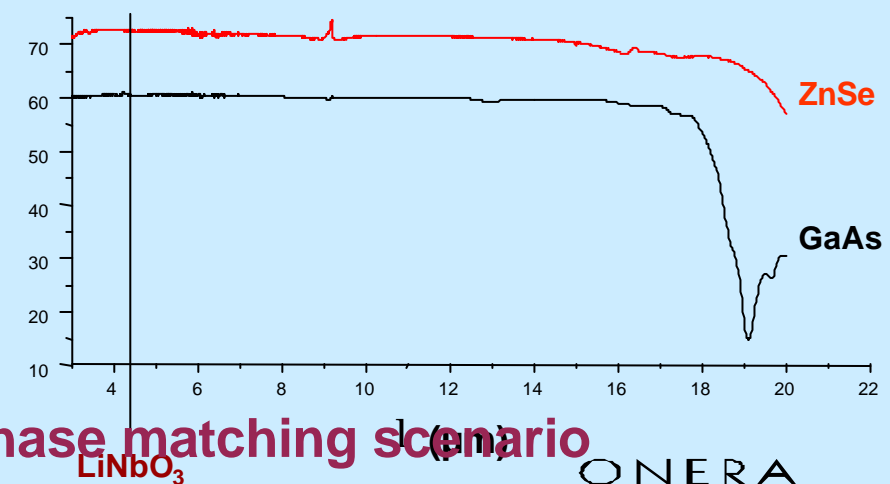
- Low cost



- Mature technology III-V

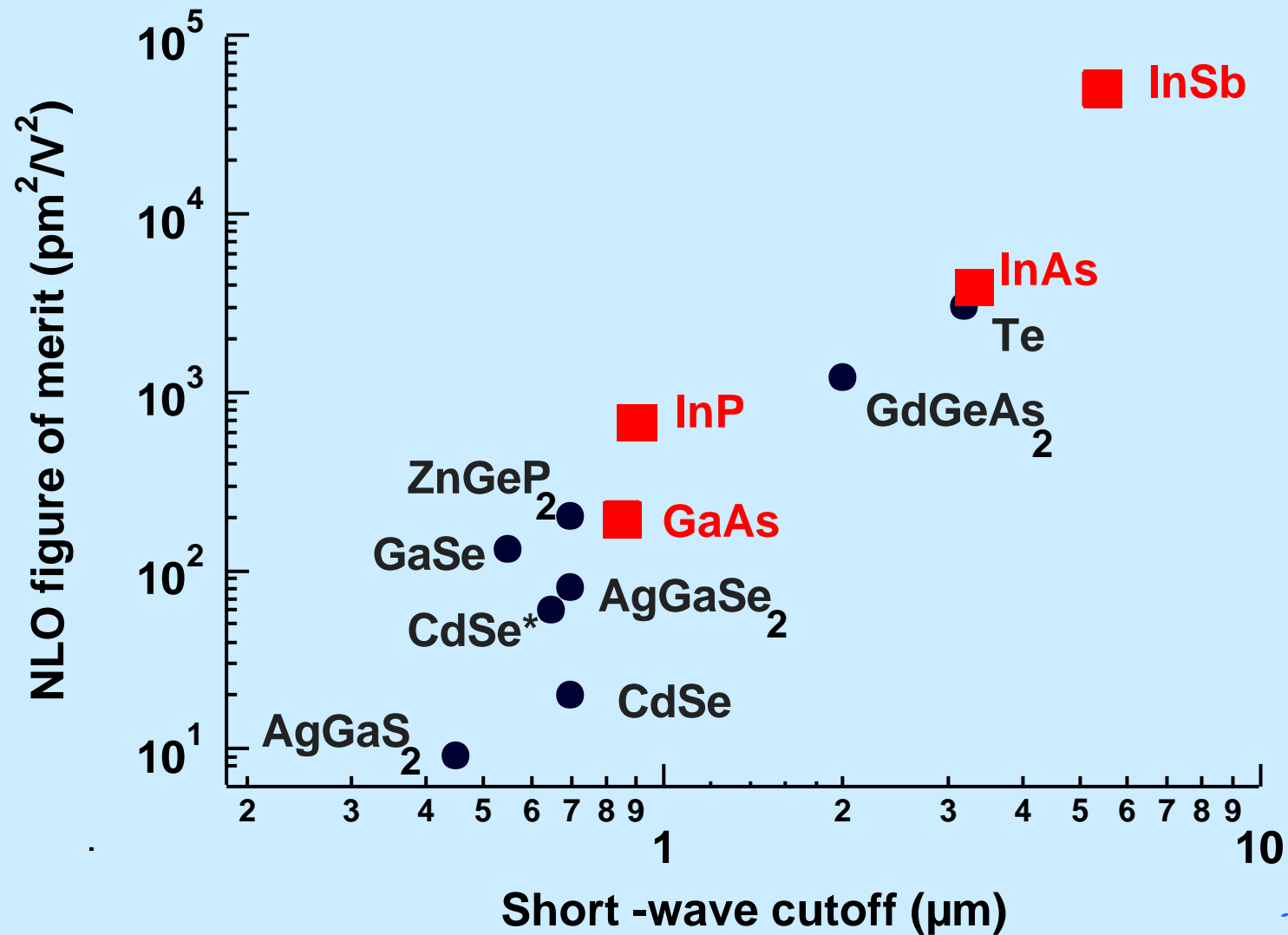


- Isotropic materials ↘ NO possible phase matching scenario



# Figure de mérite des semiconducteurs

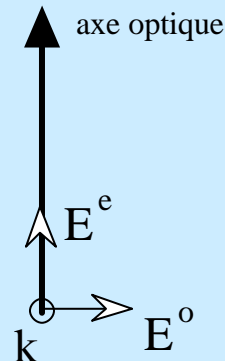
$$\frac{d^2}{n^3}$$



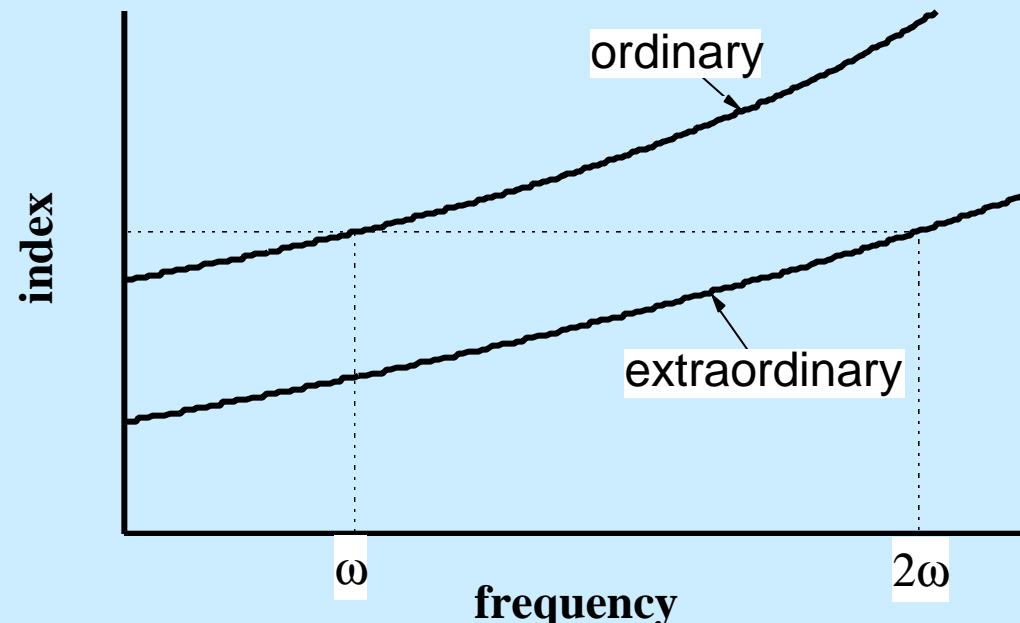
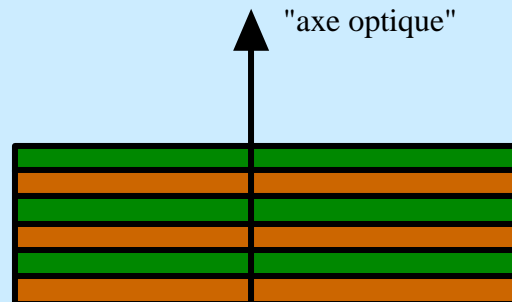
ONERA

# PHASE MATCHING BY ARTIFICIAL BIREFRINGENCE

cristaux birefringents: (ex. KTP)

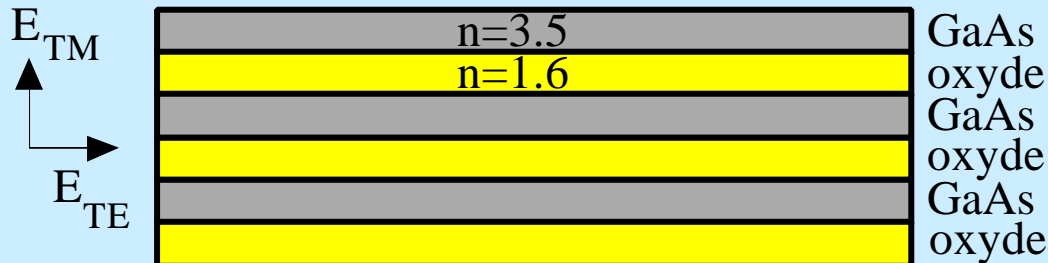
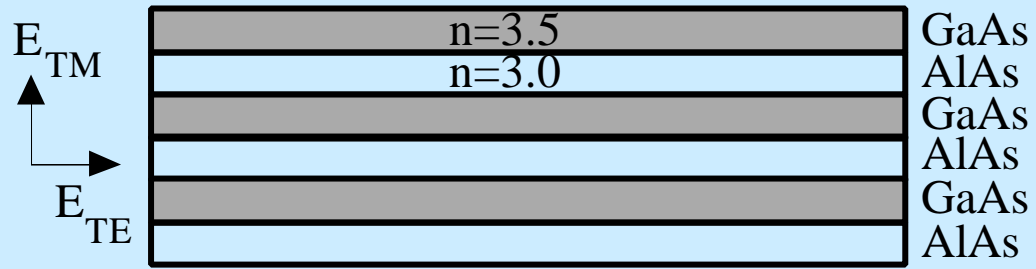


birefringence de forme: (ex. GaAs/AlAs)



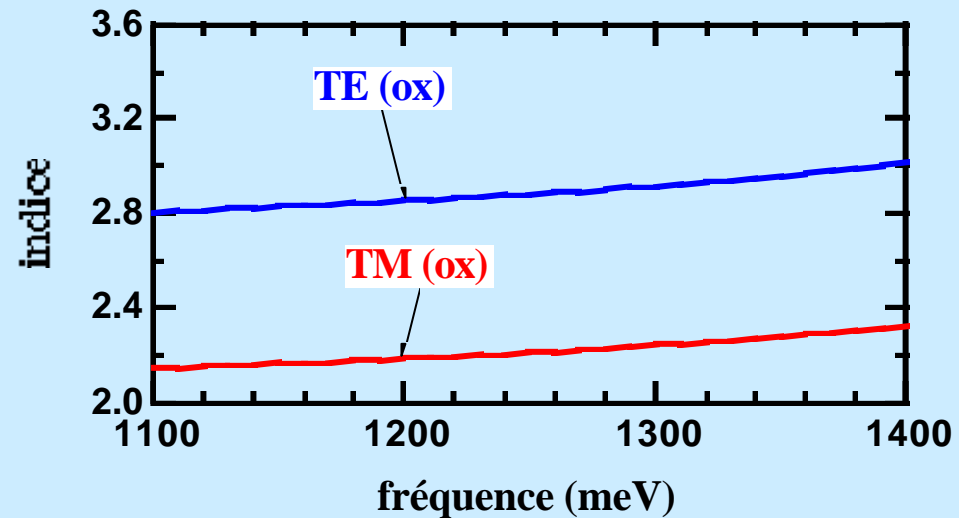
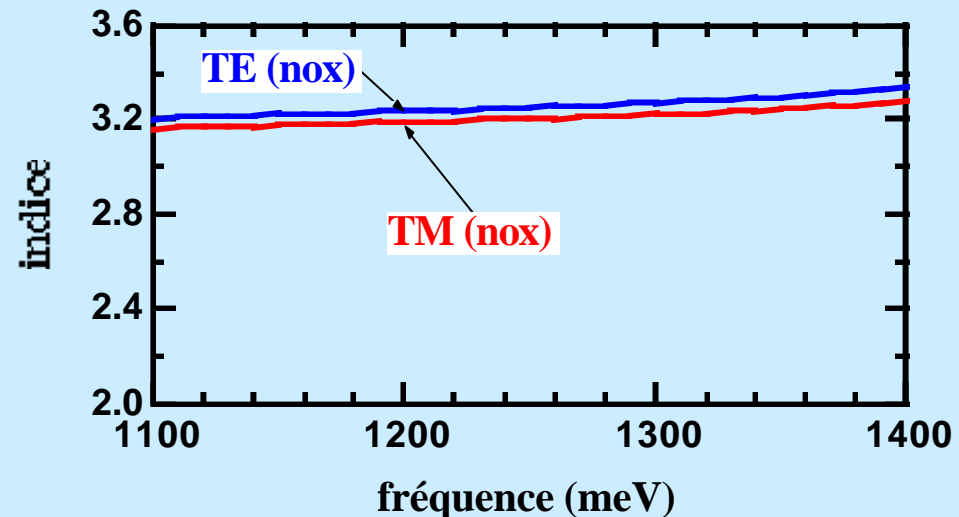
$$n_o(w) = n_e(2w) \text{ P accord de phase}$$

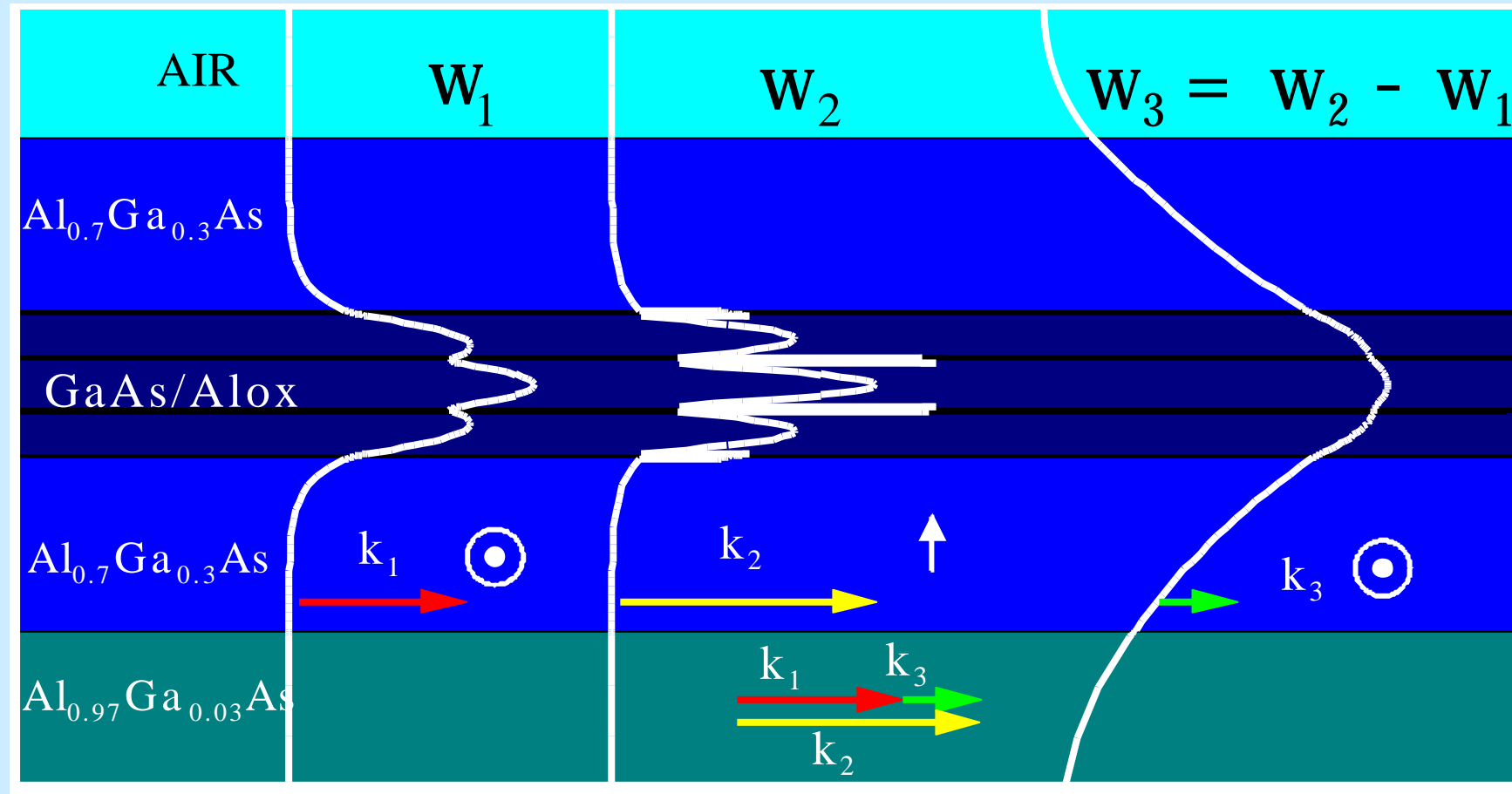
# GIANT BIREFRINGENCE IN GaAs/AlOx heterostructures



$$E_{TE} (1) = E_{TE} (2)$$

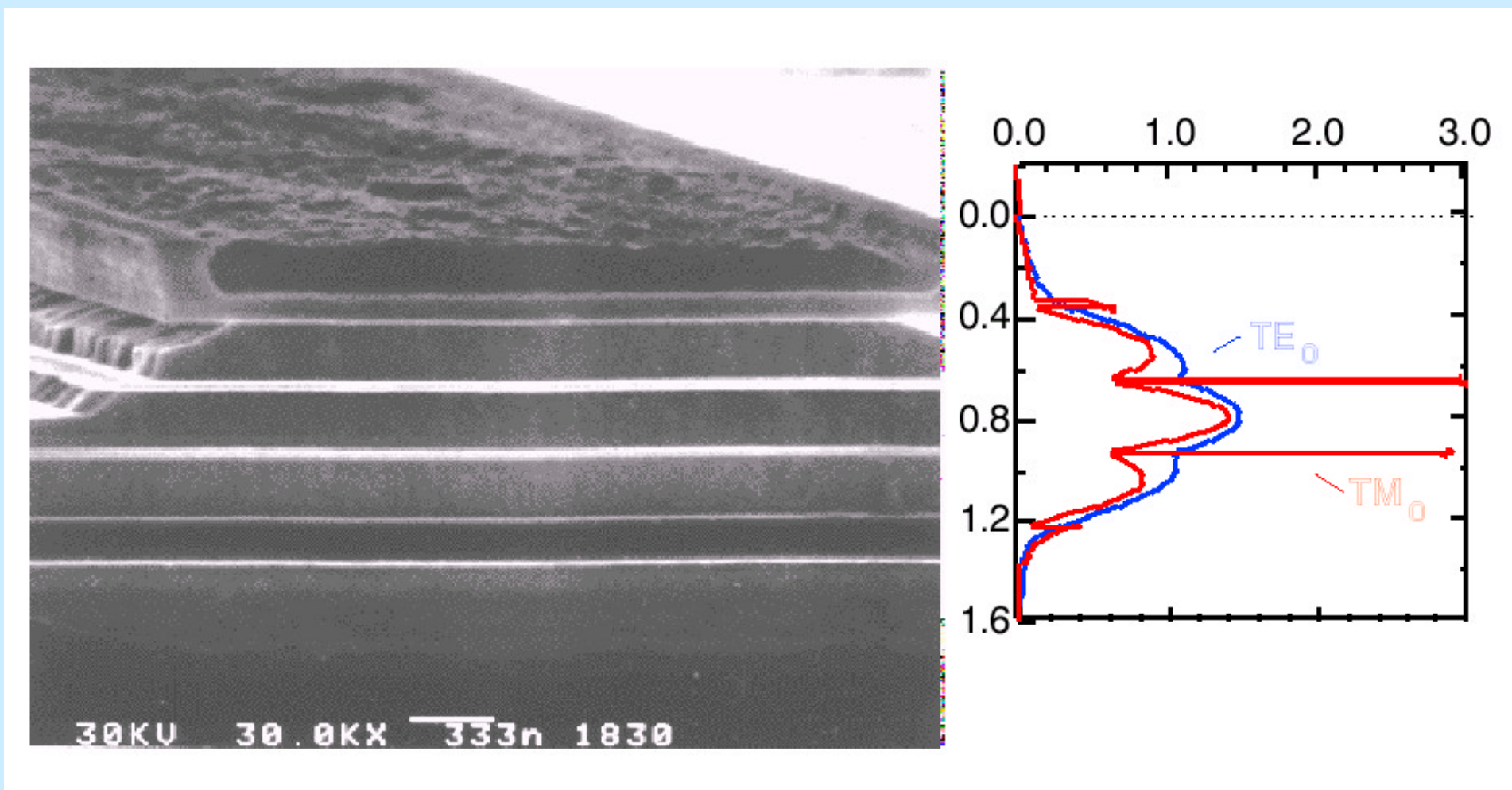
$$n_1^2 E_{TM} (1) = n_2^2 E_{TM} (2)$$





ONERA

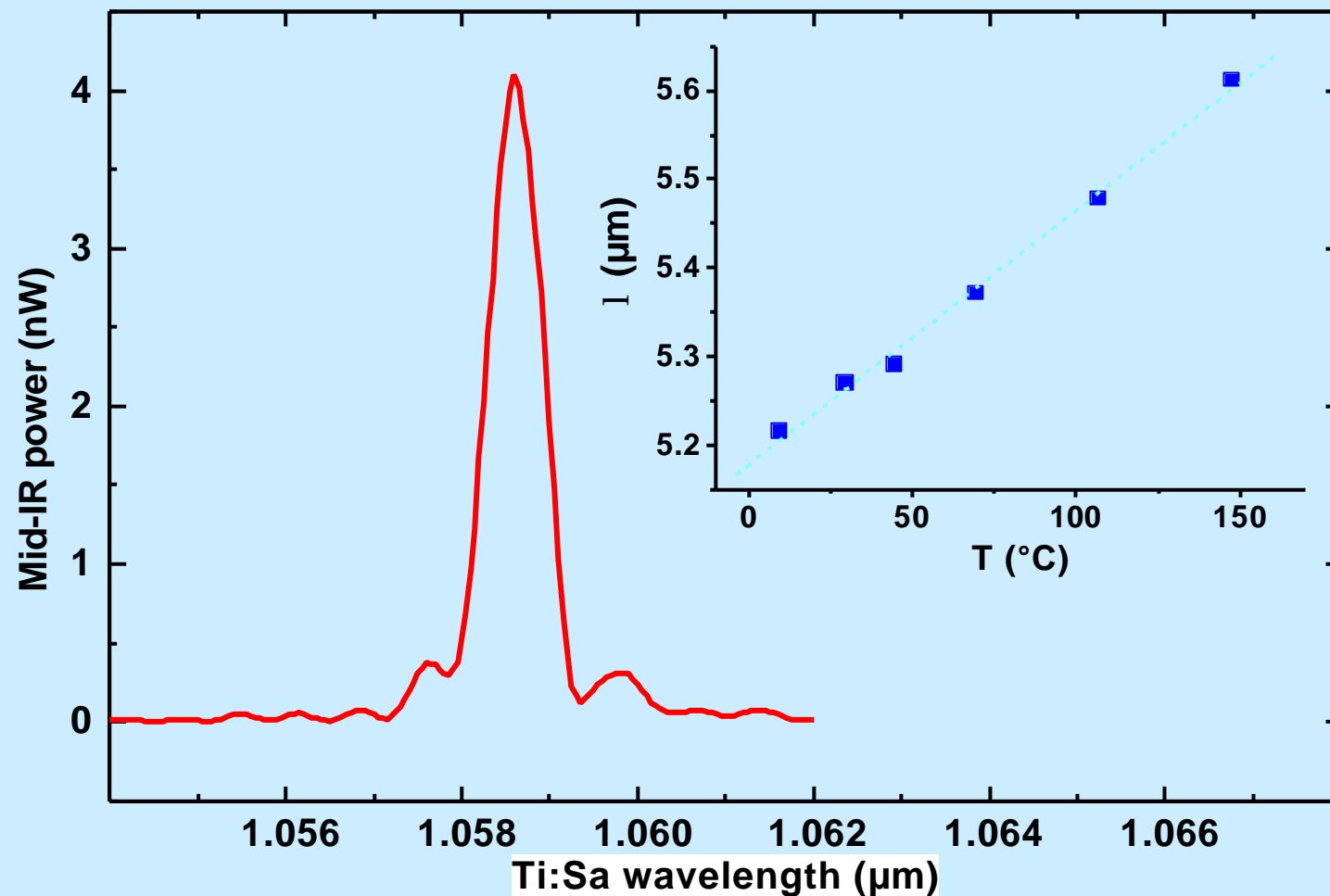
# SAMPLE AND ELECTRIC FIELD DISTRIBUTION



OPTIMISATION DE  $\oint E_1(z)E_2(z)E_3(z) dz$

ONERA

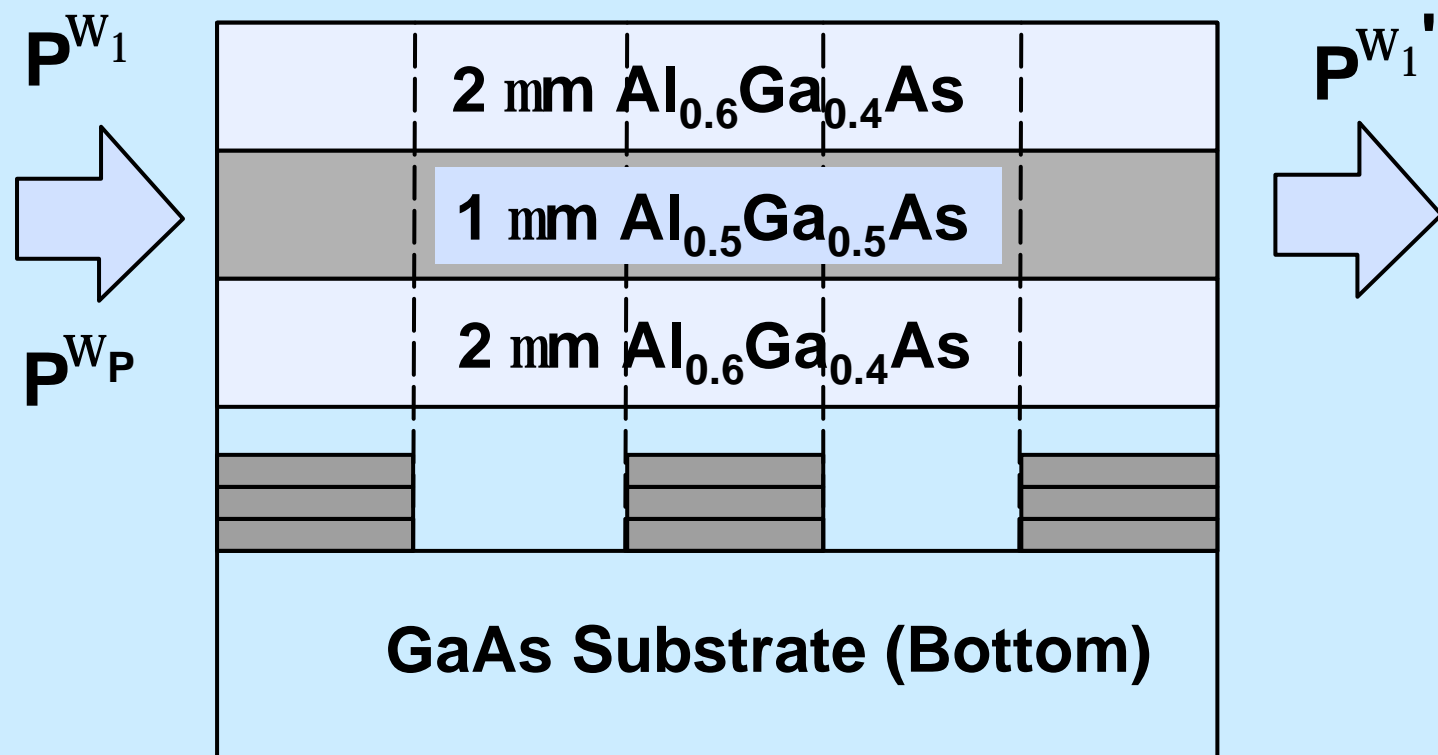
# IR OUTPUT AND TUNABILITY



Fiore, Berger, Rosencher, Nagle Nature 1998

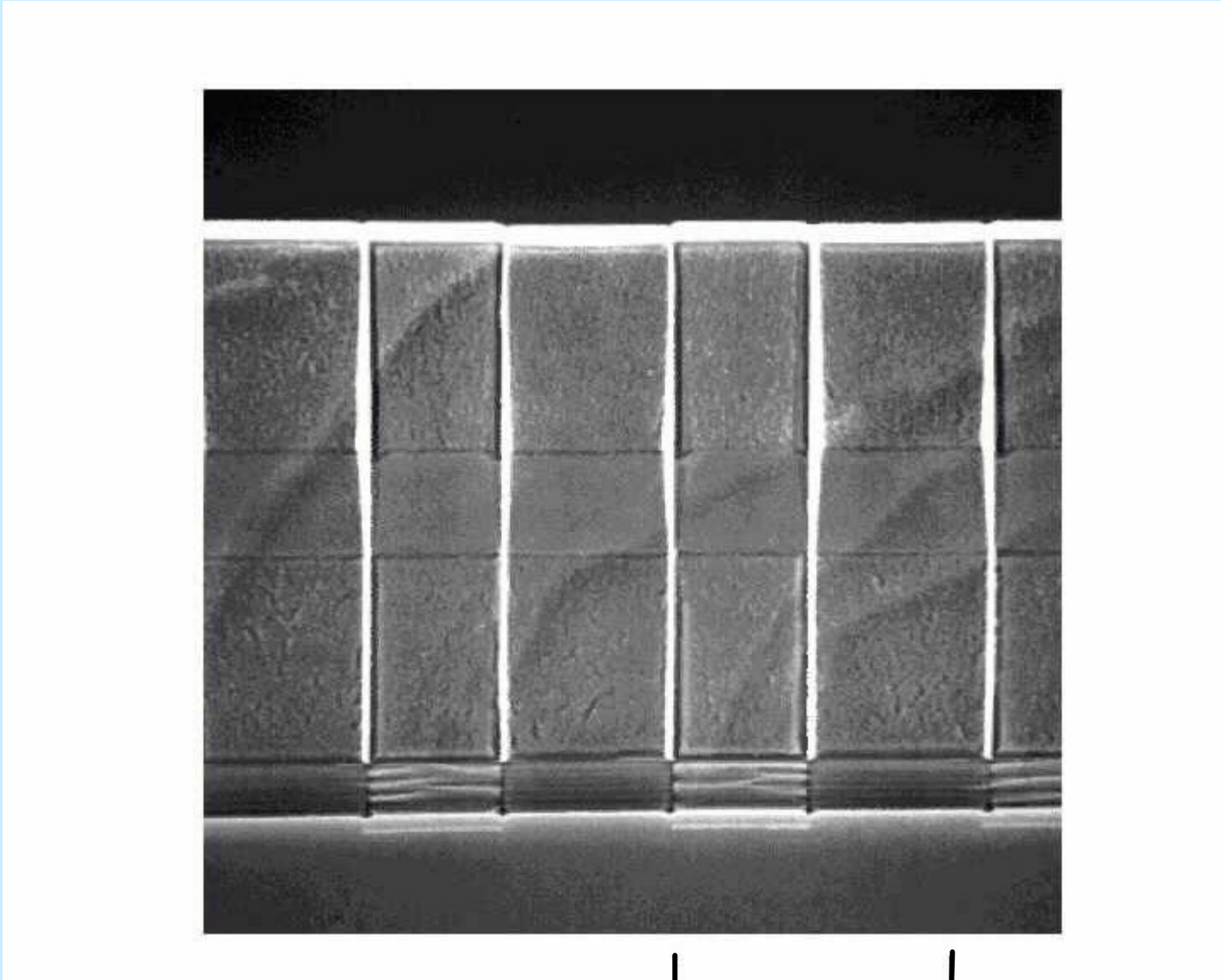
ONERA

# QUASI PHASE MATCHING IN GaAs/AlGaAs waveguide: the patterned growth method



MBE: Ben Yoo ,APL (1997)

MOCVD : M. Fejer and B. Gérard, APL (2000)

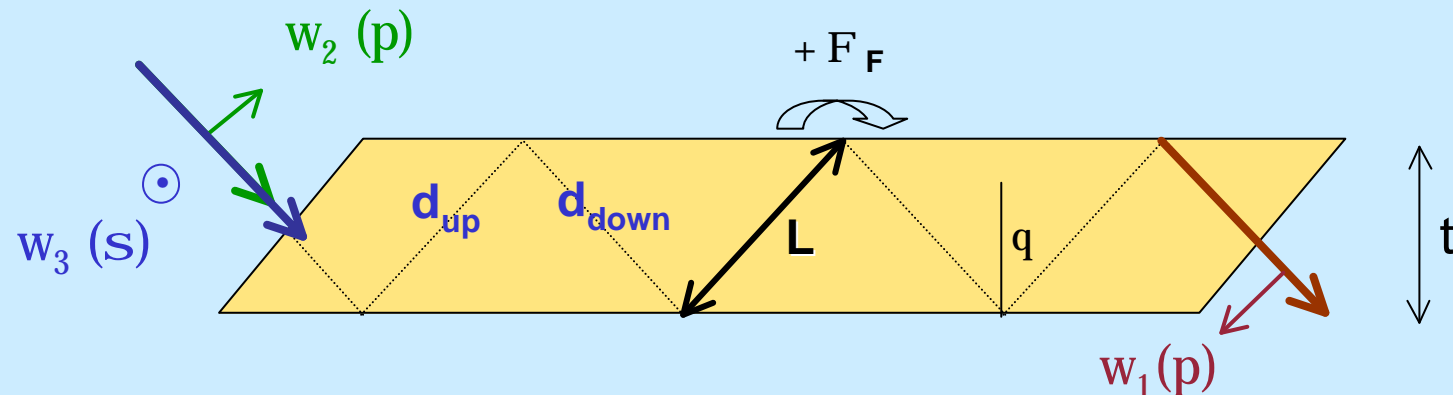


MBE: Ben Yoo ,APL (1997)

3 mm

ONERA

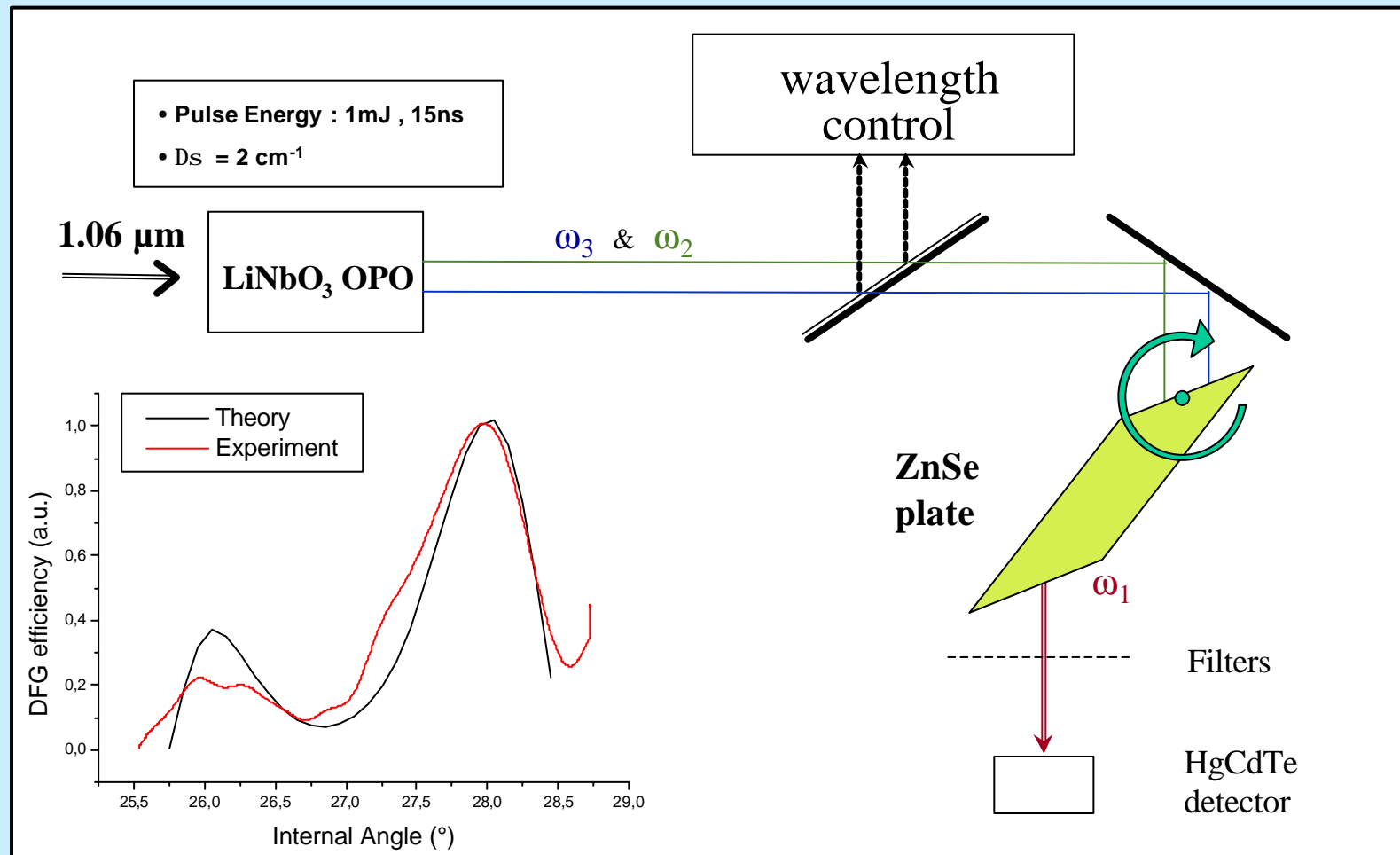
# Quasi Phase Matching by Total Internal Reflexion \* taking into account Fresnel Birefringence



$$df_{tot} = Dk \cdot L + F_F + \begin{cases} 0 & \text{if } d_{up} \cdot d_{down} > 0 \\ p & \text{if } d_{up} \cdot d_{down} < 0 \end{cases}$$

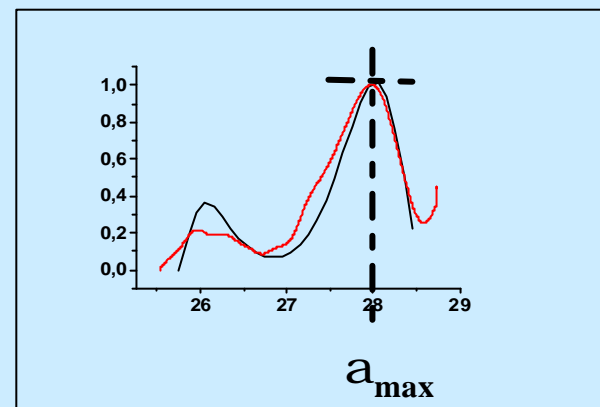
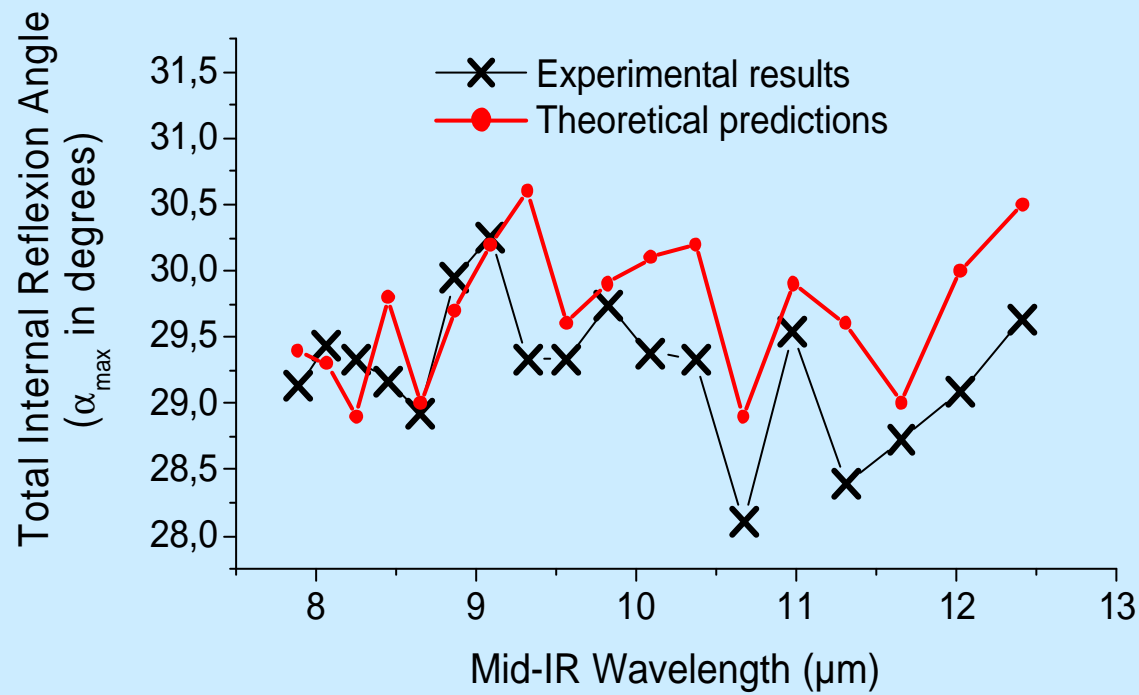
\* Armstrong et al., Phys. Rev. **127**, 1918-1939 (1962)

# Fresnel phase matching Configuration : experimental set-up

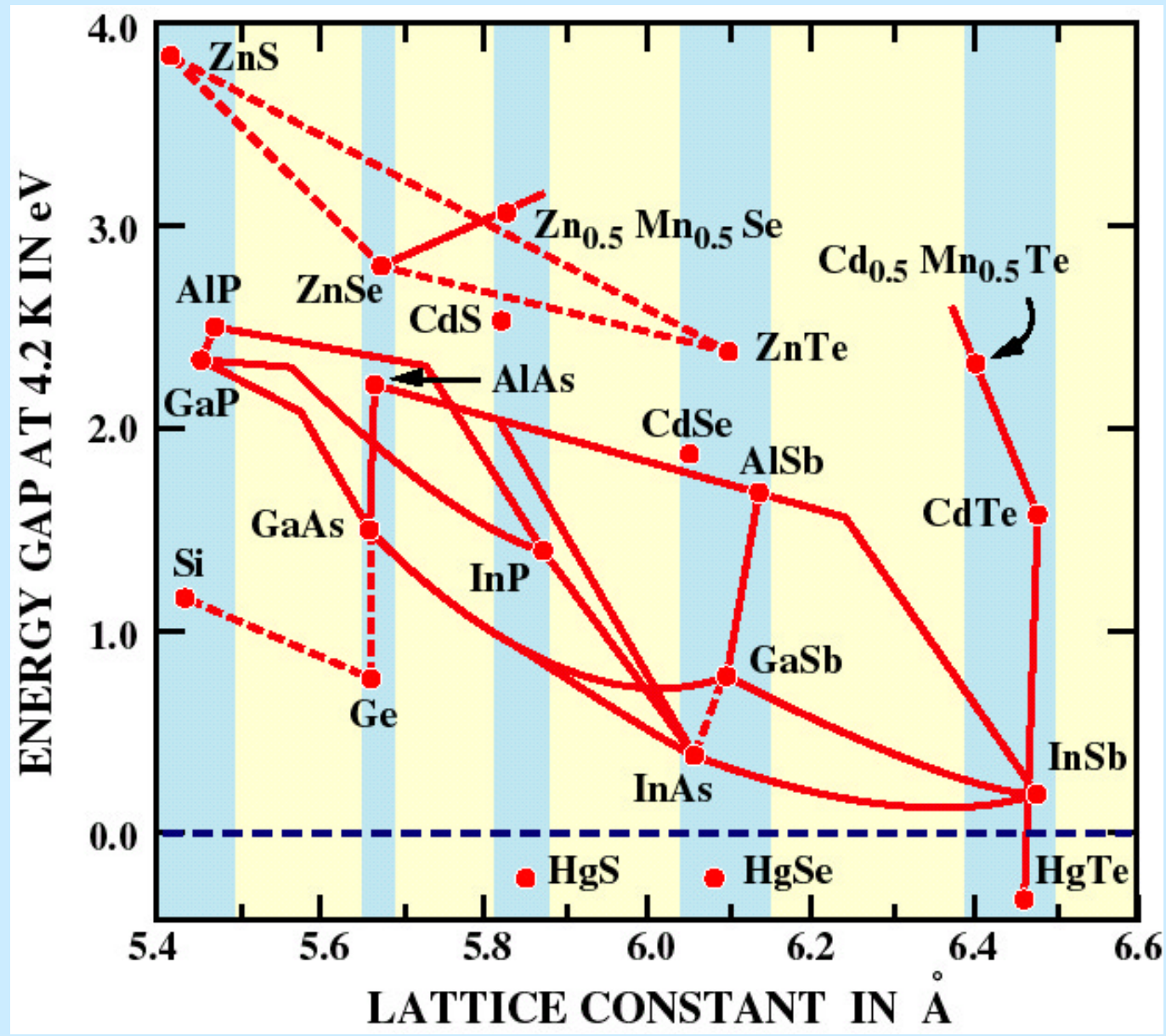


ONERA

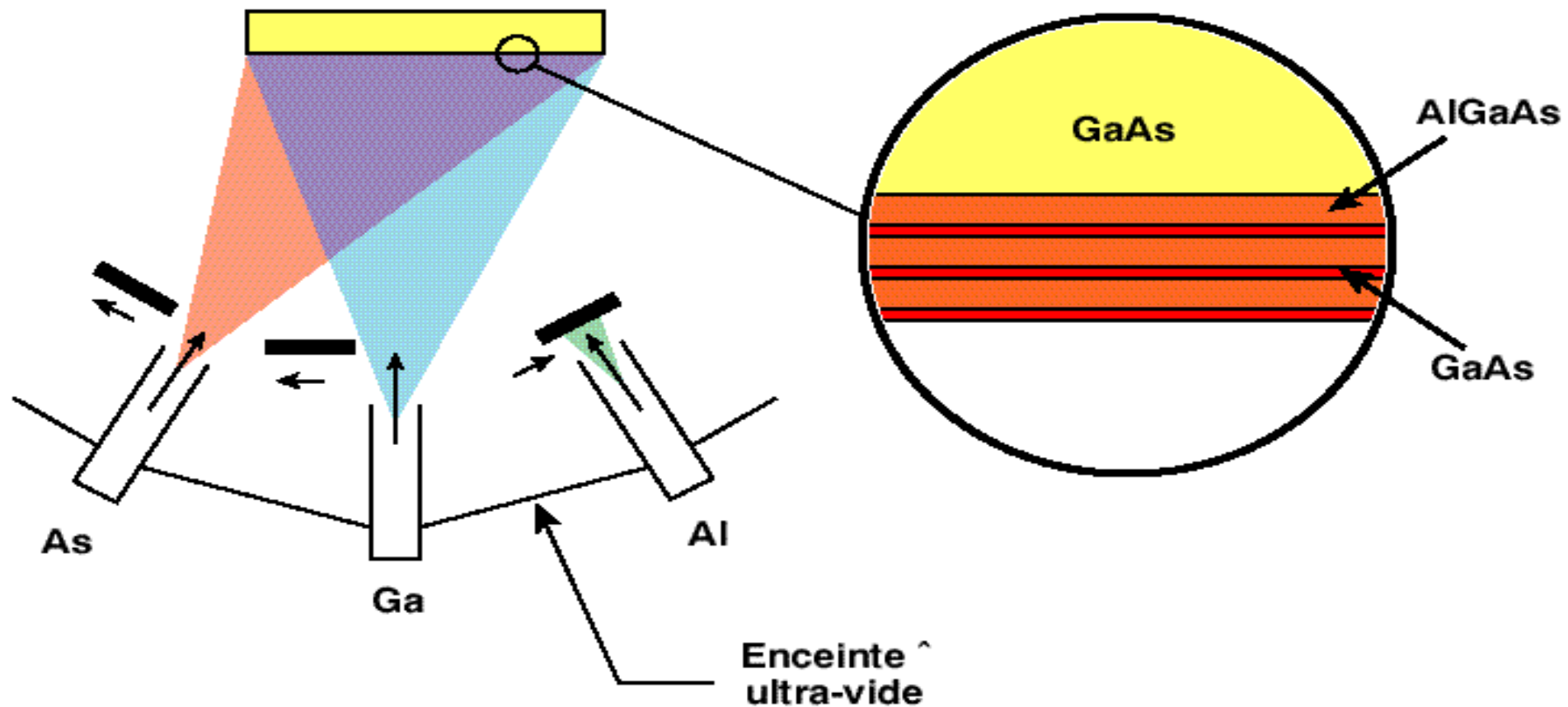
# Tuning behaviour of Fresnel phase matching



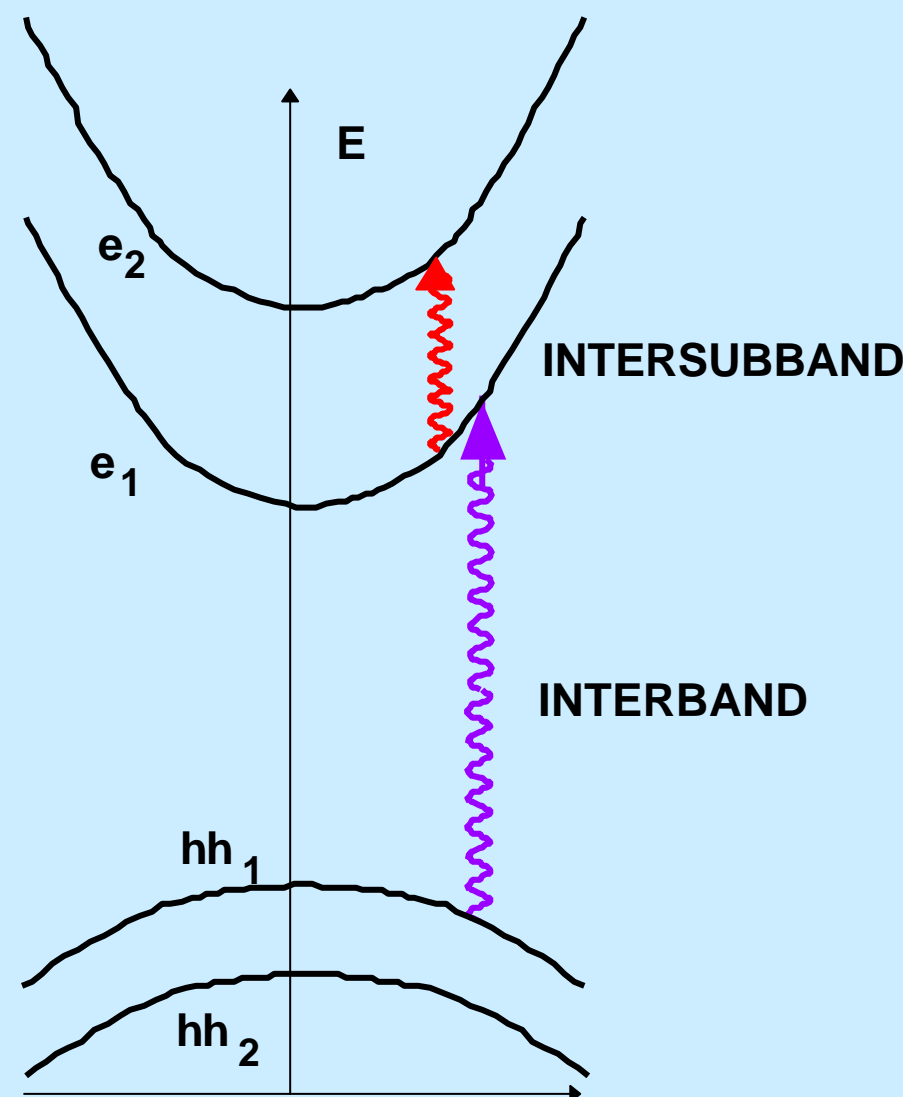
# Familles de semiconducteurs



## EPITAXIE PAR JETS MOLECULAIRES

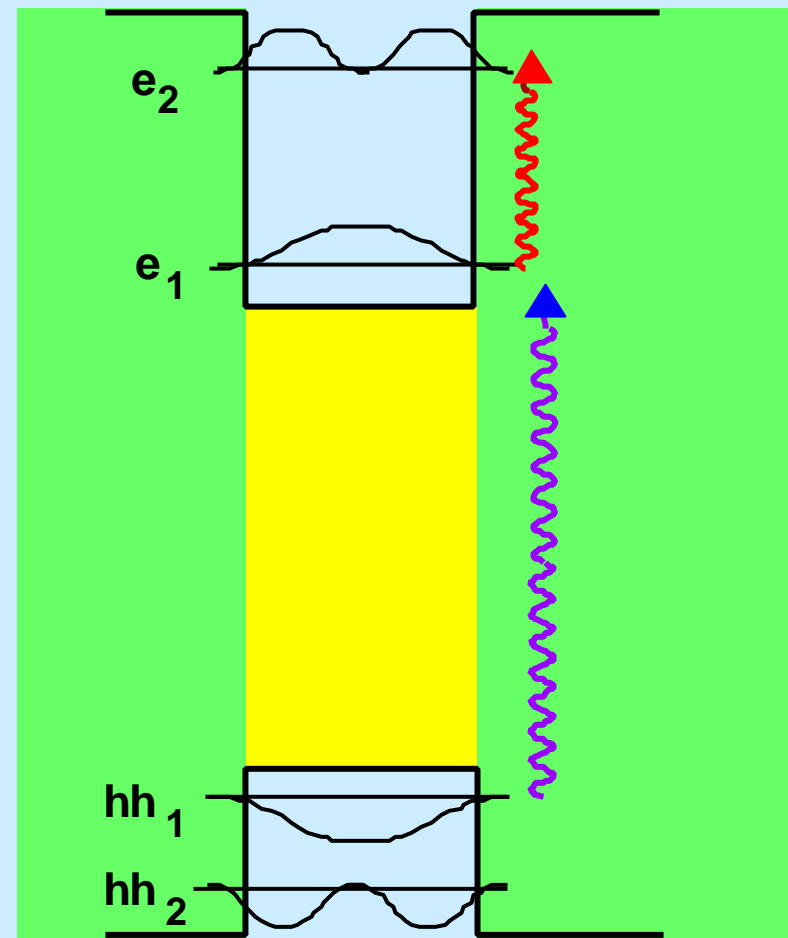


ONERA



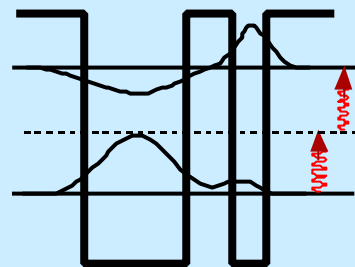
INTERSUBBAND

INTERBAND

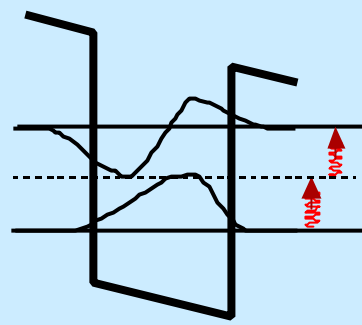


ONERA

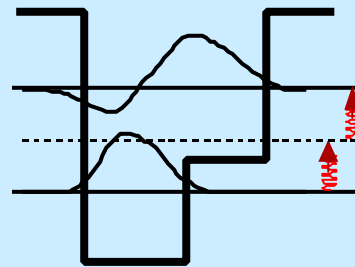
## Différentes structures asymétriques



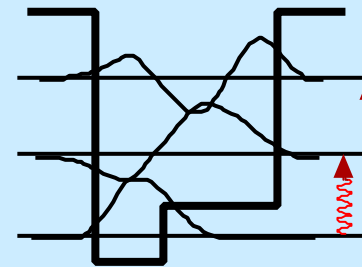
(A)



(B)



(C)



(D)

# ORIGIN OF GIANT OPTICAL SUSCEPTIBILITY

Second Fermi golden rule :

$$c^{(2)} = \frac{q^3 n_s}{e_0 \hbar^2} m_{31} \frac{m_{12}}{\text{total energy mismatch } 1 \circledR 2} \frac{m_{23}}{\text{total energy mismatch } 2 \circledR 3}$$

Two effects in QWs :

$$c^{(2)} \gg \frac{q^3 n_s}{e_0 \hbar^2} \frac{m_{12} m_{23} m_{31}}{(w - w_{12} - ig)(2w - 2w_{12} - ig)}$$

$\frac{1}{m_c^{3/2}}$  effective mass

$\frac{1}{dw^2}$  double resonnance

ONERA

# Approche quantique de l'Optique Non Linéaire:1

$\mathbf{r}$  matrice densité du système quantique  $\mathbf{r} \equiv \sum_i p_i |\mathbf{j}_i\rangle\langle\mathbf{j}_i|$

$p_i$  probabilité statistique que le système soit dans un état  $\mathbf{j}_i$

$$\langle \bar{A} \rangle = Tr(\mathbf{r} A)$$

$r_{ii}$  population moyenne de l'état i

$r_{ij}$  cohérence entre les états i et j

$$\frac{\partial r_{ij}}{\partial t} = \frac{1}{i\hbar} [H_0 - qzE(t), \mathbf{r}]_{i,j} - G_{i,j} (\mathbf{r} - \mathbf{r}^{(0)})_{i,j}$$

Exemple: valeur moyenne de la polarisation

$$P(t) = Tr(\mathbf{r} q \hat{z})$$

## Approche quantique de l'Optique Non Linéaire:2

Approche perturbative

$$\mathbf{r}(t) = \sum_n \mathbf{r}^n(t)$$

avec

$$\frac{\partial \mathbf{r}_{i,j}^{n+1}}{\partial t} = \frac{1}{i\hbar} \left\{ [H_0, \mathbf{r}^{n+1}]_{i,j} - i\hbar \mathbf{G}_{i,j} \mathbf{r}_{i,j}^{n+1} \right\} - \frac{1}{i\hbar} [q \hat{z} E(t), \mathbf{r}^n]_{i,j}$$

La polarisation est maintenant la somme de contribution d'ordres croissants

$$P^n(t) = \text{Tr} \left( \mathbf{r}^n q \hat{z} \right) \quad \text{avec} \quad \mathbf{r}^n(t) = \mathbf{r}^n(\mathbf{w}) e^{in\mathbf{w}t} + cc$$

aux deux premiers ordres

$$P(t) = \underbrace{\mathbf{e}_0 \mathbf{c}^{(1)} E e^{i\mathbf{w}t}}_{\text{Optique linéaire}} + \underbrace{\mathbf{e}_0 \mathbf{c}^{(2)} E^2 e^{i2\mathbf{w}t}}_{\text{GSH}} + \underbrace{\mathbf{e}_0 \mathbf{c}_r |E|^2}_{\text{Rectification optique}}$$

ONERA

# Approche quantique de l'Optique Non Linéaire:3

Relation de récurrence

$$\mathbf{r}_{i,j}^{n+1}(\mathbf{w}) = \frac{q [\hat{z}, \mathbf{r}^n]_{i,j}}{\hbar [(n+1)\mathbf{w} + \mathbf{w}_{i,j} - i\mathbf{G}_{i,j}]} E$$

Aux deux premiers ordres

$$\left\{ \begin{array}{l} \mathbf{r}_{i,j}^1(\mathbf{w}) = \frac{q z_{i,j} (n_j - n_i)}{\hbar [\mathbf{w} + \mathbf{w}_{i,j} - i\mathbf{G}_{i,j}]} E \\ \mathbf{r}_{i,j}^2(\mathbf{w}) = \frac{1}{\hbar [2\mathbf{w} + \mathbf{w}_{i,j} - i\mathbf{G}_{i,j}]} [q \hat{z}, \mathbf{r}^1]_{i,j} E \end{array} \right.$$

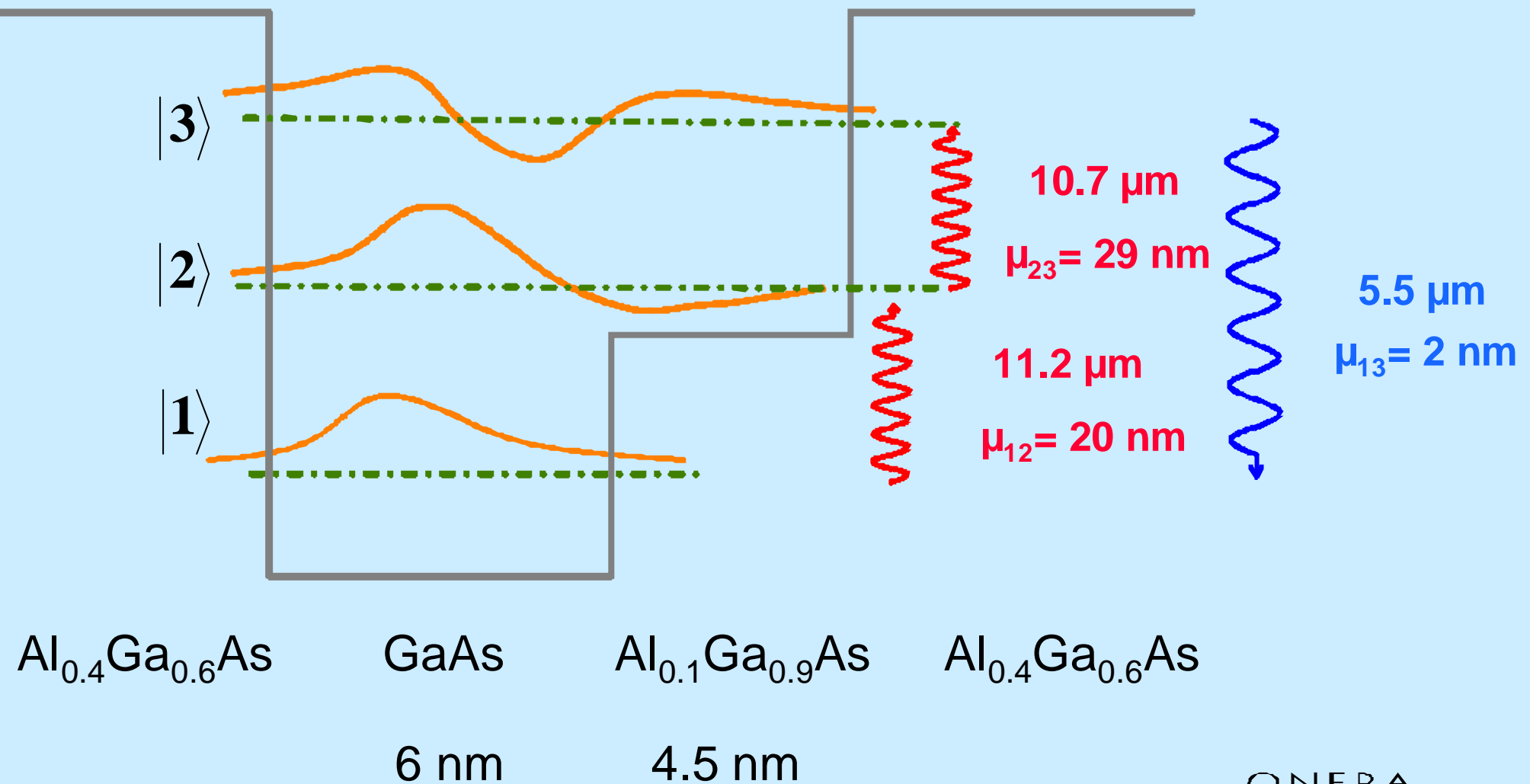
$$c^{(2)} = \frac{q^3}{e_0 \hbar^2} \sum_i \sum_i \frac{1}{(2\mathbf{w} + \mathbf{w}_{ki}) - i\mathbf{G}_{ki}}$$

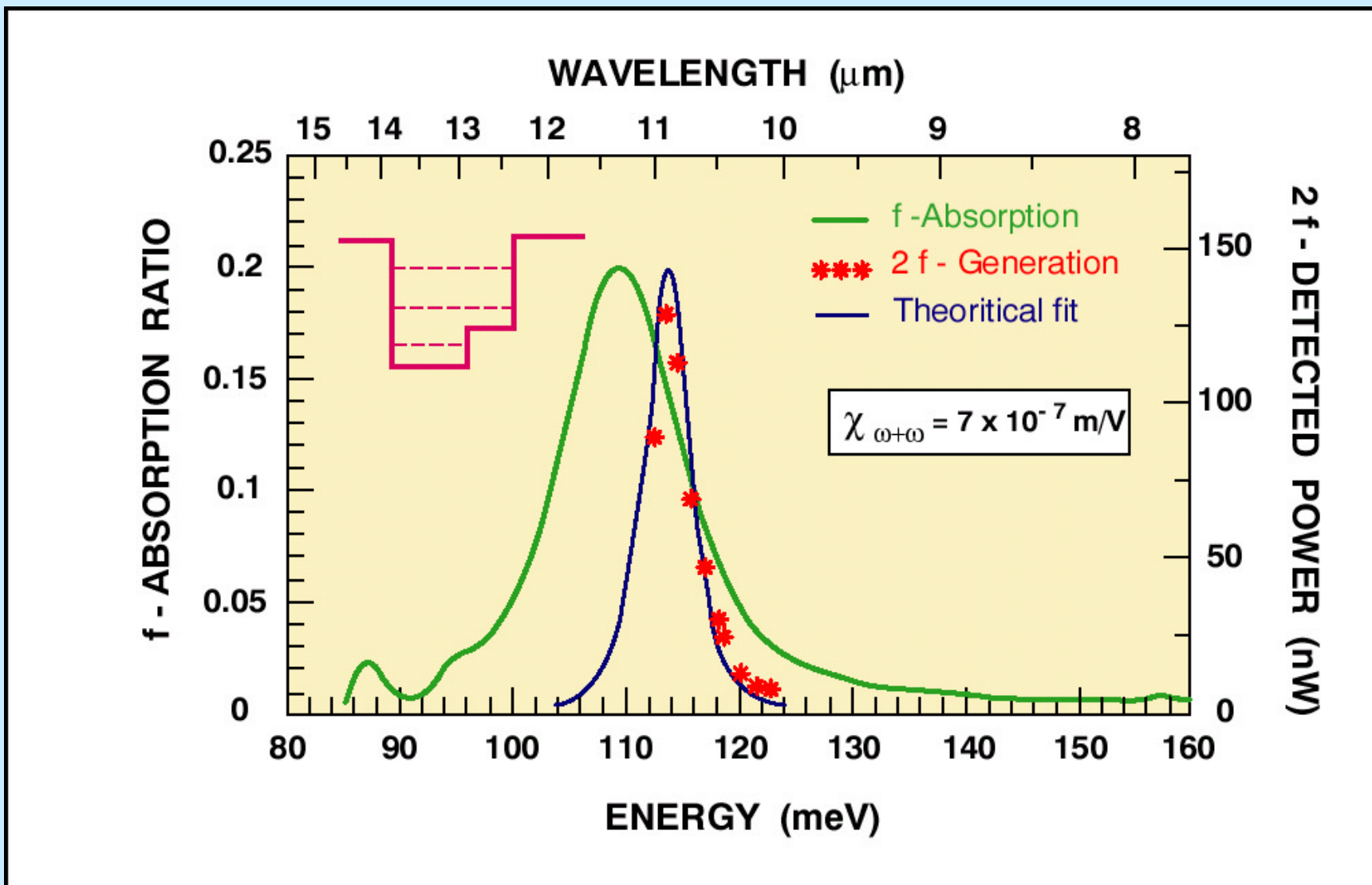
Purement quantique

$$\sum_l \mathbf{m}_{ik} \mathbf{m}_{kl} \mathbf{m}_{li} \left[ \frac{n_i - n_l}{(\mathbf{w} + \mathbf{w}_{li}) - i\mathbf{G}_{li}} - \frac{n_l - n_k}{(\mathbf{w} + \mathbf{w}_{kl}) - i\mathbf{G}_{kl}} \right]$$

ONERA

# STRUCTURE QUANTIQUE ASYMETRIQUE: «LA» FORME OPTIMALE





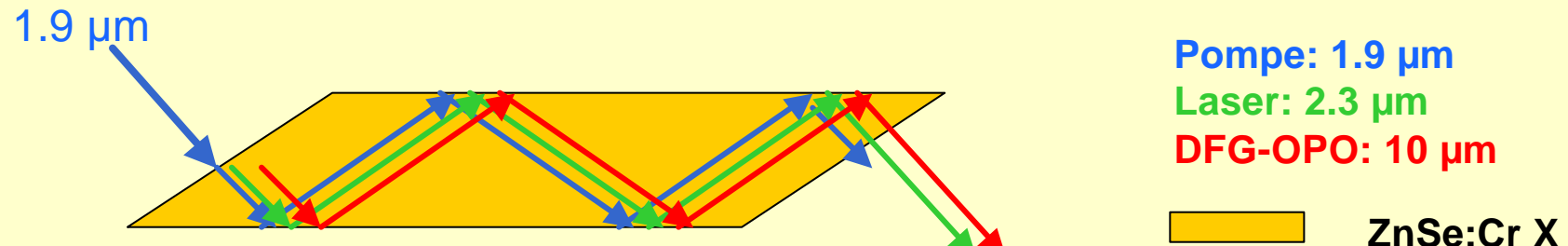
# CONCLUSIONS

- Semiconductors: already very useful parametric sources in the 6 – 13 µm range  
soon parametric oscillations

	pros	cons
QPM by molecular bonding	<ul style="list-style-type: none"><li>• No growth</li><li>• possibility of complex structures</li></ul>	<ul style="list-style-type: none"><li>• Large tunability only from the MIR</li><li>• Time consuming, manual</li></ul>
QPM by patterned growth	<ul style="list-style-type: none"><li>• Large tunability</li><li>• mass production</li></ul>	<ul style="list-style-type: none"><li>• Extreme technological difficulties</li></ul>
Fresnel phase matching	<ul style="list-style-type: none"><li>• no technology</li><li>• parametric fluorescence</li><li>• NR-QPM: high tunability, tolerance</li></ul>	<ul style="list-style-type: none"><li>• complex optical system</li><li>• highly demanding in roughness control</li></ul>
Microcavity OPO	<ul style="list-style-type: none"><li>• integration potential</li><li>• simple micro-device</li></ul>	<ul style="list-style-type: none"><li>• low tunability</li></ul>
Artificial birefringence in waveguide	<ul style="list-style-type: none"><li>• mass production</li><li>• integration potential</li></ul>	<ul style="list-style-type: none"><li>• Extreme technological difficulties</li></ul> 

# Future work

## Sol 1: auto-OPO accordé en biréfringence de Fresnel



## Sol 2: auto-OPO quasi-accordé en phase



## Sol 3: passer de la DFG à l'OPO

